

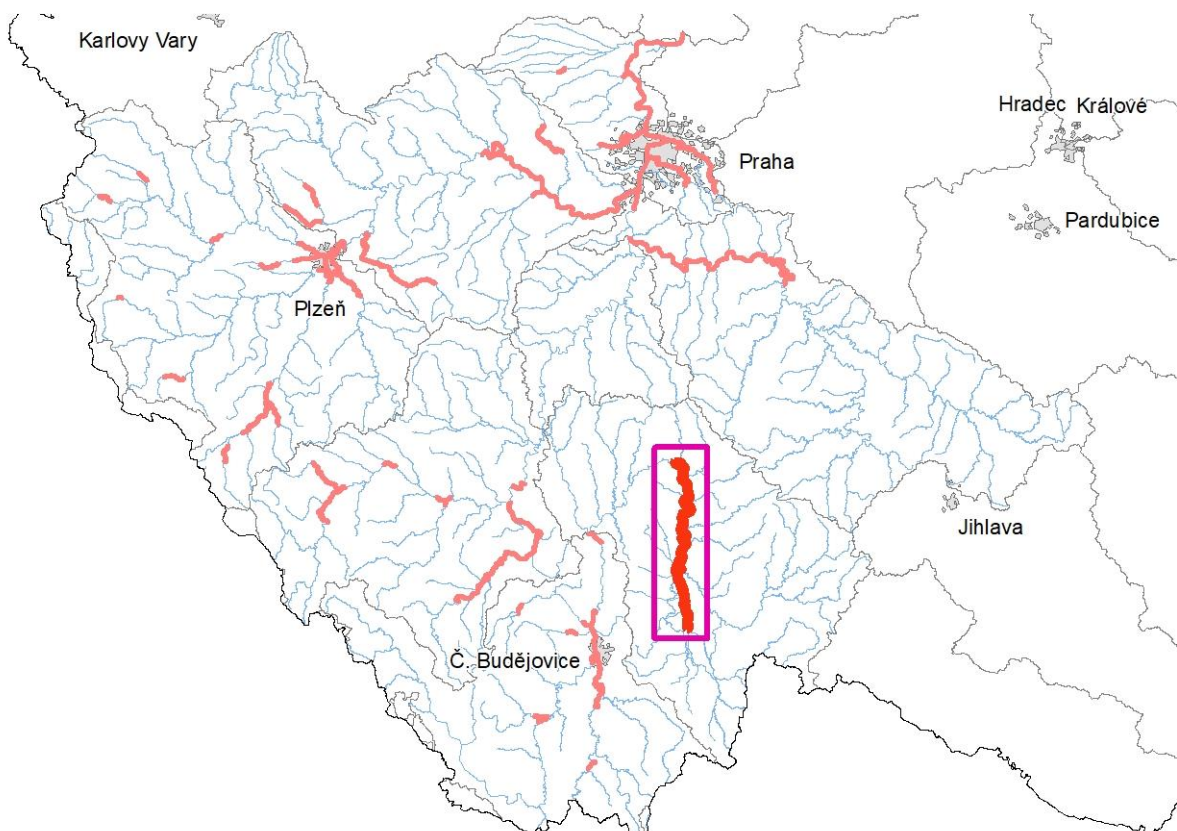


Analýza oblastí s významným povodňovým rizikem v povodí Vltavy a podklady k Plánu pro zvládání povodňových rizik v povodí Labe

DÍLČÍ POVODÍ HORNÍ VLTAVY

B. TECHNICKÁ ZPRÁVA – HYDRODYNAMICKE MODELY A MAPY POVODŇOVÉHO NEBEZPEČÍ

LUŽNICE – HVL 09-01 - Ř. KM 39,000 - 94,200



prosinec 2019

Analýza oblastí s významným povodňovým rizikem v povodí Vltavy a podklady k Plánu pro zvládání povodňových rizik v povodí Labe

DÍLČÍ POVODÍ HORNÍ VLTAVY

B. TECHNICKÁ ZPRÁVA – HYDRODYNAMICKÉ MODELY A MAPY POVODŇOVÉHO NEBEZPEČÍ

LUŽNICE – HVL 09-01 - Ř. KM 39,000 - 94,200

Pořizovatel:



Povodí Vltavy, státní podnik
Holečkova 3178/8
Praha 5 - Smíchov
150 00

Zhotovitel: Společnost „SHDP+DHI+VRV“, jejímiž společníky jsou



Sweco Hydropunkt a.s.
Táborská 31
Praha 4
140 16



DHI a.s.
Na Vrších 1490/5
Praha 10
100 00



Vodohospodářský rozvoj a výstavba a.s.
Nábřežní 90/4
Praha 5
150 56

Řešitel:



Sweco Hydroprojekt a.s.

Táborská 31

Praha 4

140 16

DHI a.s.

Na Vrších 1490/5

Praha 10

100 00

V Praze, prosinec 2019

Obsah:

1	Základní údaje	6
1.1	Seznam zkratek a symbolů	6
1.2	Cíle prací.....	6
1.3	Postup zpracování a metoda řešení	7
1.3.1	Hydrodynamický model	7
1.3.2	Výsledky výpočtů	8
2	Popis zájmového území	9
2.1	Všeobecné údaje	10
2.2	Průběhy historických povodní (největší zaznamenané povodně)	10
3	Přehled podkladů.....	12
3.1	Topologická data.....	12
3.1.1	Vytvoření (aktualizace) DMT	12
3.1.2	Mapové podklady.....	13
3.1.3	Geodetické podklady	13
3.2	Hydrologická data	14
3.3	Místní šetření	14
3.4	Doplňující podklady – technické a provozní informace, zprávy, studie, dokumenty, literatura.....	15
3.5	Normy, zákony, vyhlášky	15
3.6	Vyhodnocení a příprava podkladů	15
4	Popis koncepčního modelu	16
	Použitý software.....	16
4.1	Schematizace řešeného problému.....	16
4.2	Posouzení vlivu nestacionarity proudění.....	17
4.3	Způsob zadávání OP a PP	17
5	Popis numerického modelu.....	18
5.1	Použité programové vybavení.....	18
5.2	Vstupní data numerického modelu.....	18
5.2.1	Morfologie vodního toku a záplavového území.....	19
5.2.2	Drsnosti hlavního koryta a inundačních území	20
5.2.3	Hodnoty okrajových podmínek	20
5.2.4	Hodnoty počátečních podmínek	20
5.2.5	Diskuze k nejistotám a úplnosti vstupních dat	21
5.3	Popis kalibrace modelu	21
6	Výsledky	24
6.1	Výstupy z hydrodynamických modelů	24
6.2	Mapy povodňového nebezpečí	44
6.3	Zhodnocení nejistot ve výsledcích výpočtů	45

1 Základní údaje

Tato zpráva je předkládána za úsek HVL 09-01 Lužnice v rozsahu ř.km 39,0 – ř.km 77,5, ve kterém byly v rámci 2. cyklu implementace Směrnice Evropského parlamentu a Rady 2007/60/ES aktualizovány hydrodynamický model a mapy povodňového nebezpečí. V úseku HVL 09-01 Lužnice ř.km 77,5 – ř.km 94,2 (bez aktualizace hydrodynamického modelu a map povodňového nebezpečí) jsou pro tyto etapy přebírány výstupy z 1. cyklu.

Úsek HVL 09-02 Nežárka v rozsahu ř.km 0,000 – ř.km 2,500 je předmětem samostatné zprávy.

1.1 Seznam zkratek a symbolů

Tabulka 1 – Seznam zkratek a symbolů

Zkratka	Vysvětlení
1D model	Jednorozměrný matematický model proudění
2D model	Dvourozměrný matematický model proudění
B.p.v.	Výškový systém Balt po vyrovnání
ČHMÚ	Český hydrometeorologický ústav
ČÚZK	Český úřad zeměměřický a katastrální
DMR 5G	Digitální model reliéfu České republiky 5. generace
DMR 4G	Digitální model reliéfu České republiky 4. generace
DMT	Digitální model terénu
DMT ATLAS	Software pro zpracování digitálního modelu terénu
DOP	Dolní okrajová podmínka
HOP	Horní okrajová podmínka
LGS	Limnigrafická stanice
MIKE 11	Matematický model Mike 11 (1D model)
MIKE 21 FM	Matematický model Mike 21 FM (2D model – flexible mesh)
MPN	Mapy povodňového nebezpečí
MŘ	Manipulační řady
MZE	Ministerstvo zemědělství
MŽP	Ministerstvo životního prostředí
PPO	Protipovodňová opatření
S_JTSK	Souřadný systém jednotné trigonometrické sítě katastrální
SZÚ	Studie záplavového území
ZABAGED®	Základní báze geografických dat – digitální topografický model
VE	Vodní elektrárna
VÚV TGM	Výzkumný ústav vodohospodářský T.G. Masaryka, v.v.i.
ZM-10	Základní mapa 1 : 10 000
ZÚ	Záplavová území

1.2 Cíle prací

Cílem prací je vyjádření povodňového nebezpečí na základě stanovení těchto charakteristik průběhu povodně:

- hranice rozливů,
- hloubky vody v záplavovém území,
- rychlosti proudění vody v záplavovém území.

Podstatou vyjádření povodňového nebezpečí je určení prostorového rozdělení uvedených charakteristik povodně a zpracování těchto údajů do podoby tzv. map povodňového nebezpečí. Ty slouží v dalším kroku jako podklad pro vyjádření povodňového rizika semi-kvantitativní metodou uvedenou v „Metodice tvorby map povodňového nebezpečí a povodňových rizik“.

Předmět práce zahrnuje tyto činnosti:

- Popis postupů souvisejících se zajištěním vstupních podkladů – stávající + nové (dodatečné zaměření profilů, objektů atd.)
- Sestavení (aktualizace) hydrodynamických modelů a příslušné simulace

- Zpracování výsledků numerického modelování a vytvoření map povodňového nebezpečí (mapy rozlivů, hloubek a rychlostí).

1.3 Postup zpracování a metoda řešení

Hydrologická data

Pro účel studie byla objednána a ČHMÚ stanovena aktuální hydrologická data (N-leté průtoky) v následujících profilech zájmových úseků Lužnice a Nežárky:

- Lužnice - pod Rožberkem
- Lužnice - LGS Frahelž
- Lužnice - pod Nežárkou
- Lužnice - nad Dírenským p.
- Lužnice - nad Černovickým p.
- Lužnice - LGS Klenovice
- Lužnice - nad Chotovinským p.
- Lužnice - pod Chotovinským p.
- Nežárka - ústí do Lužnice

Topologická data

Pro potřeby 2D matematického modelu byl využit digitální model terénu (DMT) vytvořený na základě digitálního zaměření reliéfu České republiky pomocí technologie Lidar vyhodnoceného kombinací automatického a manuálního zpracování – model 5. generace (DMR 5G), částečně doplněného automaticky zpracovanými podklady (4. generace – DMR 4G). Do digitálního modelu reliéfu terénu byl vložen digitální model říčních koryt, který byl vytvořen pomocí interpolace zaměřených příčných profilů.

1.3.1 Hydrodynamický model

Hydraulické charakteristiky proudění v zájmových oblastech toků byly vypočteny kombinovaným dvourozměrným a jednorozměrným matematickým modelem proudění v otevřených korytech. Systém matematických modelů MIKE Flood umožňuje propojení 1D a 2D modelů do funkčního celku, ve které běží propojené modely souběžně a vzájemně si předávají simulované charakteristiky proudění formou vnitřních okrajových podmínek.

Použitý dvourozměrný matematický model je MIKE 21FM (v. 2019), vyvinutý firmou DHI, Hørsholm (Dánsko). Tento model je založen na řešení Navier-Stokesových diferenciálních rovnic (rovnice kontinuity a 2 pohybové rovnice v horizontální rovině) metodou konečných objemů v jednotlivých elementech půdorysné výpočetní sítě. Model MIKE 21 FM pracuje v nepravidelné výpočetní síti; tzn. jeho výpočetní síť lze, na rozdíl od pravoúhlých sítí, přizpůsobit tvaru území a tak omezit počet výpočetních bodů.

Říční koryta jsou schematizována matematickým modelem MIKE 11 (v. 2019). Jedná se o jednorozměrný plně dynamický model pro řešení dynamických procesů na vodních tocích. Může být použit k popisu jak větevné tak okruhové sítě. Model je založen na approximaci Saint-Venantových diferenciálních rovnic metodou konečných diferencí ve vystřídaném výpočetním schématu Abbott-Ionescu.

Základní postup tvorby hydrodynamického modelu:

Nad ortofoto-mapami příslušného území byla v programovém prostředku Mesh Generator zkonstruována dvourozměrná trojúhelníková výpočetní síť v takové šíři a rozsahu, aby pokryla ZÚ úseků modelu, schematizovaných 2D modelem (úseky 1 a 3 – viz výše) pro všechny simulované průtoky Q_N . V oblastech, kde by schematizace trojúhelníkovými výpočetními elementy nebyla vhodná (liniové stavby – hráze, násypy komunikací), byly ve výpočetní síti použity buňky obdélníkové.

Takto vytvořená výpočetní síť 2D modelu a DMT byly použity při generaci batymetrie (reliéf terénu na půdorysu výpočetní sítě – základní řídící soubor pro výpočet 2D modelu) zájmového území.

Součinitele drsností v ZÚ byly plošně rozdeleny na základě klasifikace území v digitálním geografickém modelu ZABAGED® a postupně upravovány dle kalibračních výpočtů, stejně tak jako drsnosti v korytě řeky.

Hodnoty návrhových průtoků Q_5 , Q_{20} , Q_{100} a Q_{500} v profilech „Lužnice – pod Rožmberkem“ a „Nežárka – ústí“ byly použity jako horní okrajové podmínky pro výpočet ustáleného proudění. Dalšími vstupy do modelu byly průtoky ve vybraných přítocích Lužnice. Tyto přítoky byly zvoleny na základě tabulky N-letých průtoků (zdroj ČHMÚ; tab. 3), aby místně vystihovaly přírůstky N-letých průtoků v Lužnici. Hodnoty přítoků byly dopočteny tak, aby doplňovaly řadu návrhových průtoků ČHMÚ. Souhrn všech návrhových průtoků uvádí tab. 6.

Výpočty pro jednotlivé N-letosti byly vždy počítány ve dvou scénářích: daná N-letost z Lužnice resp. Nežárky a průtok v komparativním toku byl stanoven rozdílem tak, aby průtok v profilu „Lužnice – pod Nežárkou“ byl v obou scénářích shodný a odpovídal hodnotě stanovené ČHMÚ (viz tab. 3).

Dolní okrajovou podmínkou modelu je úroveň hladiny v Lužnici v ř.km 38,165 vypočtená dle konzumční křivky tohoto profilu modelem MIKE 11.

1.3.2 Výsledky výpočtu

Z dosažených výsledků byly pro všechny průtokové stavy Q_N vygenerovány:

- záplavové čáry (hranice rozlivů),
- mapy hloubek,
- mapy rychlostí,

na základě kterých budou vytvořeny mapy povodňového nebezpečí.

2 Popis zájmového území

Název toku:	LUŽNICE
ID úseku IDVT CEVT	HVL_09-01 (LUŽNICE – ř.km 39,000 – 77,500) (identifikátor vodního toku 10100007)
Číslo hydrologického pořadí toku:	1-07-02-0620, 1-07-02-0760, 1-07-02-0780, 1-07-04-0010, 1-07-04-0080, 1-07-04-0100, 1-07-04-0260, 1-07-04-0400, 1-07-04-0420, 1-07-04-0500, 1-07-04-0660
Říční kilometry začátku a konce úseku:	LUŽNICE – ř.km 39,000 - 77,500
Významná vodní díla – zdymadla:	odvodňovací stoka Degárka
Významné přítoky:	Bechyňský potok, Dírenský potok, Černovický potok, Maršovský potok, Chotovinský potok

Zájmovým tokem je Lužnice.

Lužnice je jihoceská řeka s horním tokem v Rakousku. Je to pravobřežní přítok Vltavy; je dlouhá 208 km a odvodňuje území o rozloze 4234,65 km². Průměrný průtok činí 24,3 m³s⁻¹, oproti ostatním jihočeským řekám má však velmi malý spád a teče pomalu, což se negativně projevuje při povodních.

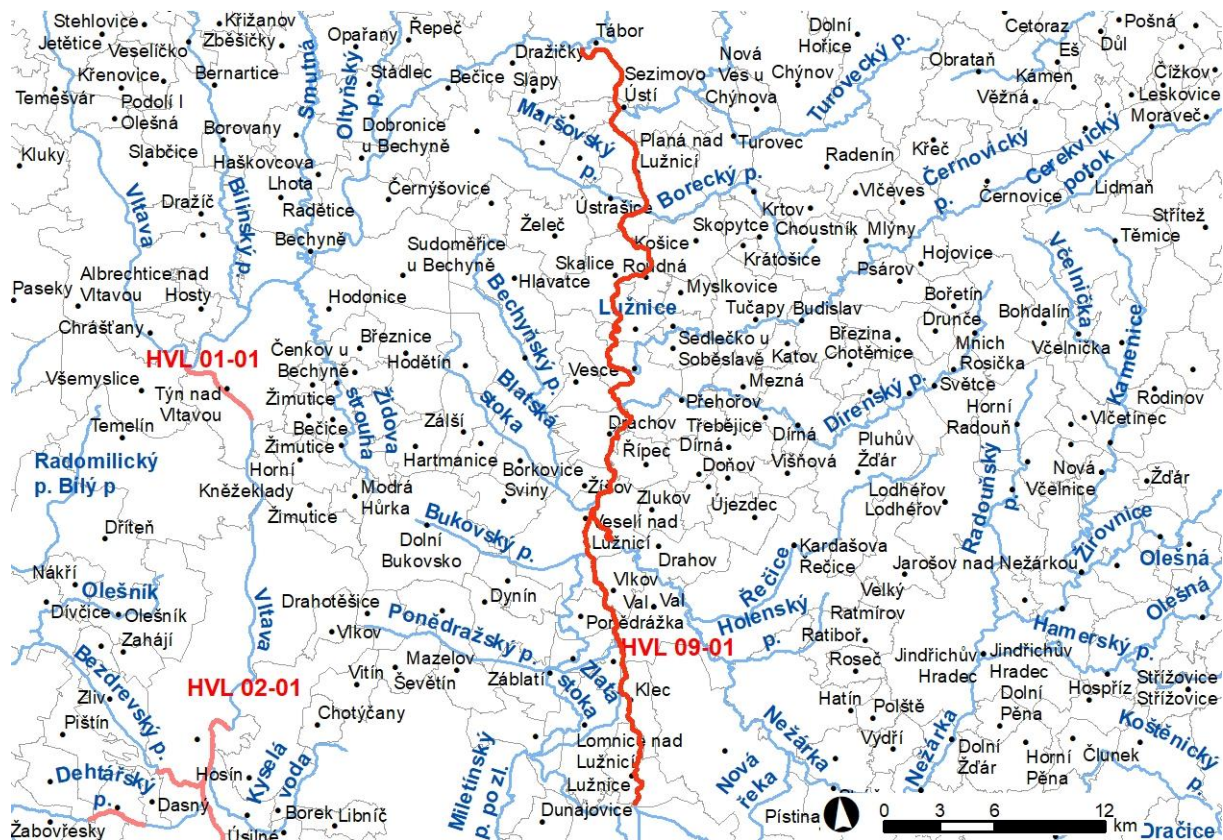
Lužnice reguluje množství vody mnoha rybníků ve svém povodí (například Rožmberku již od dob Jakuba Krčína z Jelčan nebo napájecím kanálem Zlatá stoka). V minulosti byla na řece provozována voroplavba. Již panovník Karel IV. stanovil předpisy péče o splavnění Lužnice pro dopravu dřeva (potvrzuje to zápis v archivu s datem 3.8.1366).

Lužnice protéká Novohradskými horami, Třeboňskou páneví a Středočeskou pahorkatinou, celý horní tok Lužnice až k Veselí nad Lužnicí je součást CHKO Třeboňsko, jednoho z přirodně nejcennějších území jižních Čech, které je zařazeno do systému biosférických rezervací UNESCO.

Z vodohospodářského hlediska je průtok v zájmovém úseku Lužnice a Nežárky ovlivněn manipulací na Novoreckých splavech (rozdělení průtoku v Lužnici mezi Lužnici (Starou řeku) a Novou řeku, ústící do Nežárky) a největším českým rybníkem Rožmberk, který dokáže povodňové průtoky významně transformovat – viz „Opatření Rožmberk; Studie využití retenčních schopností rybníka Rožmberk pro transformaci povodňových průtoků v řece Lužnici. Vodní díla – TBD a.s., Praha, listopad 2008“ [ii].

Podklady:

Název toku	- zdroj VÚV TGM, v.v.i.
ID úseku IDVT CEVT	- zdroj Ministerstvo zemědělství
Číslo hydrologického pořadí toku	- zdroj VÚV TGM, v.v.i.
Úsek toku	- zdroj Povodí Vltavy, s.p.
Významná vodní díla	- zdroj ZM-10, Povodí Vltavy, s.p.
Významné přítoky	- zdroj ZM-10
Předchozí studie	- „Flood Analyses and Mitigation on the Lužnice River (FLAMIS). ČVUT, EPFL, ČHMÚ, Povodí Vltavy, 2004 – 2006 [i] - Tvorba map povodňového nebezpečí a povodňových rizik v oblastech povodí horní Vltavy, Berounky a dolní Vltavy. B. Technická zpráva – hydrodynamické modely a mapy povodňového nebezpečí. Povodí Vltavy, s.p., DHI a.s., srpen 2013 [iii]



Obrázek – Vymezení řešené oblasti s významným povodňovým rizikem

2.1 Všeobecné údaje

Aktualizace hydrodynamického modelu a map povodňového nebezpečí v 2. cyklu implementace Směrnice Evropského parlamentu a Rady 2007/60/ES byla zadána pro úsek Lužnice od ř. km 39,000 do ř. km 77,500 dle kilometráže poskytnuté objednatelem studie a je vymezena zadanými souřadnicemi začátku a konce toku:

LUŽNICE

začátek: $x = -736515$ $y = -1146617$
konec: $x = -736778$ $y = -1119776$

2.2 Průběhy historických povodní (největší zaznamenané povodně)

V posledních letech bylo povodí Lužnice zasaženo několika povodňovými vlnami, které významně přispěly k rozvoji protipovodňových opatření v regionu. Bezespourově nejvýznamnější povodně byla povodeň v srpnu 2002, významnou byla též povodeň v dubnu 2006; kulminační průtok povodně z června 2013 se podél toku Lužnice mění v širokém rozsahu Q_5 až Q_{100} . Pro ilustraci jsou v tabulce 2 uvedeny hodnoty kulminačních průtoků obou povodní (dle vyhodnocení ČHMÚ) v limnigrafických stanicích či jiných důležitých profilech v zájmové oblasti.

Tabulka 2 – Kulminační průtoky historických povodní [$m^3 s^{-1}$]

Rok	Datum	Vodní tok	Profil	Průtok ($m^3 s^{-1}$)	Doba opakování (roky)
2002	14. 8.	Lužnice	LGS Frahelž	395	> Q_{1000}
2002	15. 8.	Lužnice	LGS Klenovice	625	> Q_{1000}
2002		Nežárka	LGS Hamr	n/a	
2006		Lužnice	LGS Frahelž	n/a	
2006	2. 4.	Lužnice	LGS Klenovice	347	Q_{50} až Q_{100}

Rok	Datum	Vodní tok	Profil	Průtok (m^3s^{-1})	Doba opakování (roky)
2006	1.4.	Nežárka	LGS Hamr	188	< Q ₅₀
2013	2.6.	Lužnice	LGS Frahelž	33,4	Q ₅
2013	5.6.	Lužnice	LGS Klenovice	204	Q ₁₀ až Q ₂₀
2013	2.6.	Lužnice	LGS Bechyně	561	Q ₁₀₀

3 Přehled podkladů

V souladu s vyhláškou č. 79/2018 sb. byly použity pro zpracování návrhu záplavového území tyto podklady. Pravidla pro citace podkladů se řídí dle ČSN ISO 690 (01 0197).

Hydrologické podklady:

- Hodnoty N-letých průtoků (ČHMÚ, 2017)
- Hydrologické poměry ČSSR III, „modrá kniha“, III. díl (Hydrometeorologický ústav Praha, 1970)

Topologické podklady:

- DMR 5G (ČZÚK, a.s., 2011-2012)
- DMR 4G (ČZÚK, a.s., 2011-2012)
- ORTOFOTO v digitální podobě (geoportál CENIA)
- ZABAGED v digitální podobě (Povodí Vltavy s.p.)
- Zaměření použitá v projektu „Flood Analyses and Mitigation on the Lužnice River (FLAMIS)“. ČVUT, EPFL, ČHMÚ, Povodí Vltavy, 2004 – 2006“ [i]
- Zaměření koryt Nežárky, Degárky a Adolfky (Geodis Brno s.r.o., 2013)
- PPO Tábor – pravý břeh; zaměření skutečného provedení (březen 2015)
- Zaměření břehů, přívodního a odpadního kanálu MVE Valcha a MVE Špačkův Mlýn. GEMA – Geodetické práce, březen 2019

Další podklady:

- Říční kilometráž (digitální, Povodí Vltavy s.p.)
- Osa toku (digitální, Povodí Vltavy s.p.)
- Kalibrační podklady – povodňové značky (Povodí Vltavy, s.p.; DHI a.s., 2003)
- Vyhodnocení povodní v červnu 2013, Závěrečná souhrnná zpráva (ČHMÚ, červen 2014)
- Fotodokumentace a odborné poznatky z terénního šetření (DHI a.s., 2012)

3.1 Topologická data

Pro vytvoření modelu záplavového území byl použit *Digitální model reliéfu ČR 5. generace* (DMR 5G), který představuje zobrazení přirozeného nebo lidskou činností upraveného zemského povrchu v digitálním tvaru ve formě výsek diskrétních bodů v nepravidelné trojúhelníkové síti (TIN) bodů o souřadnicích X, Y, H s úplnou střední chybou výšky 0,18 m (ČUZK, a.s., 2011-12), podrobné body byly předány v ASCI formátu.

Svahy koryta a objekty na toku (jezy, mosty) byly převzaty z již stávající TPE a projektu FLAMIS [i]; novější objekty byly doplněny dle aktuální dokumentace.

Zpracovatel studie si DMT převedl pro vlastní potřeby do softwarů Atlas DMT a ArcGIS.

DMT je prostorová plocha, která (podle kvality zadání) kopíruje skutečný (zaměřený) nebo projektovaný terén. Vzniká na základě zadaných 3D bodů. Lze zadat i 3D čáry. Zadanými body plocha prochází, mimo ně se dopočítává podle matematických vzorců tak, aby se blížila skutečnosti – výpočet není založen na lineární interpolaci, ale modeluje hladký „oblý“ terén. Tam, kde je to na závadu, lze doplnit terénní hrany. Hlavními zdroji dat pro vytváření (generování) DMT jsou textové soubory (bodové pořady) z DMR 5G a výkresy ve formátu DXF (body, linie, plochy).

3.1.1 Vytvoření (aktualizace) DMT

Digitální model terénu inundačního území s vloženými říčními koryty Lužnice a Nežárky byl zpracován v 1. cyklu implementace Směrnice Evropského parlamentu a Rady 2007/60/ES [iii]. V rámci 2. cyklu projektu byl aktualizován – konkrétně do něj byly vloženy:

- PPO Tábor – pravý břeh – podle zaměření skutečného provedení stavby, březen 2015)
- úpravy břehu, přívodní a odpadní kanál MVE Valcha
- úpravy břehu, přívodní a odpadní kanál MVE Špačkův Mlýn

3.1.2 Mapové podklady

Pro účely studie byla využita Základní mapa České republiky 1:10 000 aktualizovaná Českým úřadem zeměměřickým a katastrálním (dále jen ČÚZK) v roce 2009. Jedná se o nejpodrobnější základní mapu středního měřítka.

ZM10 obsahuje polohopis, výškopis a popis. Předmětem polohopisu jsou sídla a jednotlivé objekty, komunikace, vodstvo, hranice správních jednotek a katastrálních území (včetně územně technických jednotek), hranice chráněných území, body polohového a výškového bodového pole, porost a povrch půdy. Předmětem výškopisu je terénní reliéf zobrazený vrstevnicemi a terénními stupni. Popis mapy sestává z druhového označení objektů, standardizovaného geografického názvosloví, kót vrstevnic, výškových kót, rámových a mimorámových údajů. Obsahem mapových listů je i rovinářská pravoúhlá souřadnicová síť a zeměpisná síť.

Tvorbu a aktualizaci ZM 10 zajišťuje ČÚZK.

ZM10 je distribuována ve formátu TIF po segmentech bezešvé mapy – čtvercích 2x2 km, se stranami rovnoběžnými se souřadnicovými osami S-JTSK. Kromě grafického umísťovacího souboru je dodáván textový umísťovací soubor TFW a to pro zobrazení S-JTSK / Křovák EN. Tento soubor obsahuje souřadnice levého horního rohu umísťovacího čtverce a velikost pixelu v metrech pro dané rozlišení souboru. Předané soubory TIF mají velikost 3149x3149, rozlišení 400 x 400 DPI, hloubku barev 4 bit/pixel

Dále bylo využito informací ze základní báze geografických dat **ZABAGED®**, což je digitální geografický model území České republiky (ČR) na úrovni podrobnosti Základní mapy ČR 1:10 000 (ZM 10). ZABAGED® je součástí informačního systému zeměměřictví a patří mezi informační systémy veřejné správy. Je vedena v podobě bezešvé databáze pro celé území ČR v centralizovaném informačním systému spravovaném Zeměměřickým úřadem. Polohopisná část ZABAGED® obsahuje dvourozměrně vedené (2D) prostorové informace a popisné informace o sídlech, komunikacích, rozvodných sítích a produktovodech, vodstvu, územních jednotkách a chráněných územích, vegetaci a povrchu, terénním reliéfu.

Nedlouhou součástí při konstruování výpočetní sítě byly v r. 2009 – 2010 aktualizované **ORTOFOTOMAPY ČR** – obdélníky 2,5 x 2,0 km ve formátu TIF, se stranami rovnoběžnými se souřadnicovými osami S-JTSK. Předané soubory TIF mají velikost 2500x2000, rozlišení 96 x 96 DPI, hloubku barev 24 bit/pixel.

Dále byla využita mapa na Geoportálu INSPIRE – aktuální ortofotomapa CENIA (což je česká informační služba MŽP). *INfrastructure for SPatial InfoRmation in Europe* je iniciativou Evropské komise, která si klade za cíl vytvořit evropský legislativní rámec potřebný k vybudování evropské infrastruktury prostorových informací a pravidel zejména k podpoře environmentálních politik a politik, které životní prostředí ovlivňují.

3.1.3 Geodetické podklady

Byly použity předchozí geodetické podklady, jejichž přesnost byla ověřena měřením systémem geodetickou GPS Trimble zpracovatelem přímo při rekognoskaci.

Geodeticky zaměřené příčné profily byly využity k vymodelování DMT koryta řeky (2012) a aktualizace DMT břehových partií a inundačních území v prostoru MVE Valcha a MVE Špačkův Mlýn.

Veškeré podklady i výstupy jsou v polohopisném systému S_JTSK a výškovém systému B.p.v.

3.2 Hydrologická data

Vodní tok: LUŽNICE, NEŽÁRKA
Datum zpracování: 2012, ověření v únoru 2017
Vydal: ČHMÚ, pobočka České Budějovice

Tabulka 3 – Lužnice a Nežárka, hodnoty N-letých průtoků [m^3s^{-1}]

Řeka	Hydrologický profil	ČHP	plocha povodí (km^2)	5	20	100	500
Lužnice	pod Rožmberkem	1-07-02-050	1386,6	26	55	120	235
Lužnice	LGS Frahelž	1-07-02-059	1536,6	34	68	145	279
Lužnice	pod Nežárkou	1-07-04-001	2717,5	111	183	315	492
Lužnice	nad Dírenským p.	1-07-04-010	2880,0	126	205	333	507
Lužnice	nad Černovickým p.	1-07-04-026	3003,4	138	222	353	523
Lužnice	LGS Klenovice	1-07-04-040	3152,0	151	240	374	545
Lužnice	nad Chotovinským p.	1-07-04-050	3308,2	167	265	407	583
Lužnice	pod Chotovinským p.	1-07-04-066	3521,8	187	296	454	646
Nežárka	ústí do Lužnice	1-07-03-079	1000,1	103	157	234	334

Třída přesnosti dle ČSN 75 1400

3.3 Místní šetření

Při stavbě modelu bylo využito bohaté fotodokumentace projektu FLAMIS [i]. Terénní průzkum (pro ověření skutečnosti, vyjasnění nesrovnalostí v datech) se uskutečnil v květnu a červnu 2013 a terénní průzkum PPO Tábor – pravý břeh v dubnu 2019.

Během průzkumu byla pořízena aktuální fotodokumentace vybraných objektů na toku, významných částí toku, charakteru a překážek v záplavovém území.

Toto šetření bylo pro zpracovatele důležité rovněž z hlediska stanovení součinitelů drsnosti matematického modelu a dále pro kontrolu významných příčných a podélných hrází, valů a náspů v záplavovém území Lužnice.

Charakter záplavového území

Zájmové území sestává z několika výrazně odlišných oblastí:

- v horním úseku od hráze rybníka Rožmberka až po Veselí nad Lužnicí protéká Lužnice rybniční soustavou Třeboňské páne. Kapacita koryta dosahuje až Q_{20} . Komplikovaný systém hrází rybníků odolává až Q_{100} .
- V úseku od Veselí nad Lužnicí po Planou nad Lužnicí se jedná o zemědělsky využívanou krajинu s četnými sídly podél toku. Kapacita říčního koryta zpravidla nedosahuje ani Q_5 , průběh hladin je ovlivněn četnými jezy
- Od Plané nad Lužnicí přes Sezimovo Ústí k Táboru protéká Lužnice prakticky spojitou urbanizovanou aglomerací, záplavové území je však úzké, od Sezimova Ústí se podstatě jedná o hluboký kaňon řeky.

Významnější dosud značně zaplavovaná sídla (Veselí nad Lužnicí, Soběslav, Planá nad Lužnicí) již dokončila či v současné době budují protipovodňovou ochranu – ta je zpravidla navržena na Q_{50} , event. s bezpečnostním navýšením na Q_{100} .

Zemědělsky využívané plochy se v zájmové oblasti vyskytují jako převažující

Lesní porosty (převážně jehličnaté kultury),

Inundační území v intravilánu je tvořeno budovami a objekty občanského, zemědělského a průmyslového charakteru, v extravilánu jde především o zemědělsky využívané plochy (rybniční soustava, pole, louky, lesy) a ostatními volnými plochami.

3.4 Doplňující podklady – technické a provozní informace, zprávy, studie, dokumenty, literatura

Povodí Vltavy poskytlo zpracovateli **manipulační řády** všech vodních děl na toku.

- [i] Flood Analyses and Mitigation on the Lužnice River (FLAMIS). ČVUT, EPFL, ČHMÚ, Povodí Vltavy, 2004 – 2006
- [ii] Opatření Rožmberk; Studie využití retenčních schopností rybníka Rožmberk pro transformaci povodňových průtoků v řece Lužnici. Vodní díla – TBD a.s., Praha, listopad 2008
- [iii] Tvorba map povodňového nebezpečí a povodňových rizik v oblastech povodí horní Vltavy, Berounky a dolní Vltavy. B. Technická zpráva – hydrodynamické modely a mapy povodňového nebezpečí. Povodí Vltavy, s.p., DHI a.s., srpen 2013

3.5 Normy, zákony, vyhlášky

Postupy zpracování studie byly v souladu s níže uvedenými dokumenty v jejich platném znění:

- [1] ČSN 75 0110 Vodní hospodářství – Terminologie hydrologie a hydroekologie.
- [2] ČSN 75 1400 Hydrologické údaje povrchových vod.
- [3] TNV 75 2910 Manipulační řády vodních děl na vodních tocích.
- [4] TNV 75 2931 Povodňové plány.
- [5] Vyhláška MŽP 79/2018 Sb., o způsobu a rozsahu zpracovávání návrhu a stanovování záplavových území.
- [6] Vyhláška č. 470/2001 Sb., kterou se stanoví seznam významných vodních toků a způsob provádění činností souvisejících se správou vodních toků.
- [7] Zákon č. 114/1992 Sb., o ochraně přírody a krajiny.

U uvedených zákonů, nařízení a vyhlášek se předpokládá jejich platné znění.

3.6 Vyhodnocení a příprava podkladů

Poskytnuté topologické a hydrologické podklady plně pokryly zájmové území.

Za významné a přesnost ovlivňující výsledky lze považovat nepřesnosti DMR 5G několika lokalit s nepřehledným terénem porostlým hustými krovisky a travinami, kde bylo zjištěno převýšení nad skutečným terénem (zaměřeným geodeticky v příčném profilu) o 1 – 2 metry; většinou se však jednalo o území malého rozsahu.

Obdobnou výškovou chybou byla postižena rozsáhlá soustava hrází rybniční sítě. Hráze jsou typicky porostlé stromy (často zapojené koruny) a odrazy systému LIDAR a zpracované výsledky se často lišily od skutečnosti i o mnoho desítek centimetrů. V případě hrází rybníků se jednalo o poměrně dlouhé linie, které musely být opravovány.

4 Popis koncepčního modelu

Stanovení záplavového území vychází dle vyhlášky MŽP z výpočtů ustáleného nerovnoměrného proudění; k simulacím lze využít jak 1D tak 2D matematické modely.

Použitý software

Pro výpočty hydraulických charakteristik proudění byly použity software **MIKE 21 FM** ver. 2019, **MIKE 11** ver. 2019 a **MIKE Flood** (propojení MIKE 11 a MIKE 21) ver. 2019, vyvinuté DHI Water & Environment & Health, Hørsholm (Dánsko).

Veškerý software, použitý pro výpočet, je komerčně dostupný, má zajištěn servis a pravidelný update.

Mike 21 FM

Pro simulaci proudění byl použit dvourozměrný matematický model proudění v otevřeném korytě s inundačním územím MIKE 21 FM (verze 2019). Nepravidelná síť umožňuje zahuštění a zmenšení výpočetních elementů (tj. zvýšit podrobnost popisu zájmového území) v oblastech, kde je třeba podrobněji modelovat reliéf terénu (např. v místech objektů či překážek proudění), resp. v oblastech, kde požadujeme velmi detailní znalost výsledků. Model je založen na numerickém řešení Navier-Stokesových rovnic v explicitním výpočetním schématu metodou konečných objemů.

MIKE 11

Matematický model MIKE 11 je jednorozměrný plně dynamický model pro řešení dynamických procesů na vodních tocích. Může být použit k popisu jak větvené tak okruhové sítě a lze ho aplikovat i na problémy pseudo-dvourozměrného proudění (tzv. 1D+). Model je založen na approximaci Saint-Venantových diferenciálních rovnic metodou konečných diferencí ve vystřídaném výpočetním schématu Abbott-Ionescu.

Objekty na tocích (mosty, jezy) jsou schematizovány pomocí příčných profilů, resp. funkčních objektů, které umožňují definovat rozměry objektů geometricky přesně a hydraulickou funkci objektů odpovídajícími matematickými vztahy.

Mike Flood

Matematický model Lužnice i krátkého úseku Nežárky využívá koncepce MIKE Flood – technologie založené na propojení 1D modelu (popisuje jen říční koryto a objekty na něm) a 2D modelu, který detailně simuluje charakteristiky proudění v inundačním území. Oba modely jsou vzájemně propojeny systémem „linků“, které na základě aktuálních gradientů hladin zajišťují „přelévání vody“ (výměnu průtoků) mezi říčními koryty (hlavní tok Lužnice i Nežárky, Degárka, Adolfka) a inundačním územím přes spojité definované břehové hrany.

4.1 Schematizace řešeného problému

V zájmových úsecích Lužnice (ř.km 39,0 - 94,2) a Nežárky (ř.km 0,0 - 2,5) jsou použity různé způsoby schematizace proudění – s ohledem na komplikovanost proudění, hydraulické charakteristiky v jednotlivých oblastech – a především s cílem vystihnout charakteristiky proudění za povodně v území co nejvěrněji. Celá zájmová oblast se tak rozpadá na následující pod-celky:

1. **hráz rybníka Rožmberka až silniční most Dráchov** (ř.km 94,2 až 70,0)
území je schematizováno technologií MIKE Flood (viz výše). Kombinace 2D a 1D modelu umožňuje co nejsprávněji schematizovat složitosti proudění a problematická místa v tomto úseku:
 - proudění v zaplavené soustavě rybníků po přelití rybničních hrází – při $Q > Q_{100}$
 - proudění v intravilánu Veselí nad Lužnicí – propojovací stoka Degárka, velké množství objektů na tocích (rozdělovací objekty, pohyblivé jezy, mosty) + uvažované prvky PPO
2. **silniční most Dráchov až jižně od rybníka Švadlačky** (ř.km 70,0 až 68,9)
úsek je schematizován v technologii 1D+, tj. větveným 1D modelem s jednou větví schematizující proudění v říčním korytě, jednou větví pro levobřežní inundační území a dvěma větvemi pro pravobřežní inundační území

Poznámka: Jedná se o „překryvný“ úsek dvou modelových celků – viz dále v kap. 4.3.

3. **jižně od rybníka Švadlačky až jižní okraj Sezimova Ústí** (ř.km 68,9 až 47,2)
úsek je schematizován technologií MIKE Flood. Kombinace 2D a 1D modelu umožňuje správnou schematizaci charakteristik proudění v intravilánech Soběslavi a Plané nad Lužnicí – vliv prvků PPO podél Lužnice (resp. Černovického potoka) + řady objektů (mosty, jezy) na Lužnici
4. **Sezimovo Ústí až Tábor, ř.km 39,0** (ř.km 47,2 až 39,0)
úsek je schematizován 1D – mezi ř.km 47,2 až 46,7 je použita 1D+ schematizace (s jednou větví 1D modelu pro levobřežní inundační území); od ř.km 46,7 až po dolní okraj modelu je proudění simulováno v celoúdolních profilech. V tomto úseku je údolí Lužnice (celkové inundační území) velmi úzké – jedná se v podstatě o hluboký kaňon řeky, proudění v inundačních územích je souběžné s osou toku – 1D schematizace je dostatečná k vystížení charakteristik proudění.

4.2 Posouzení vlivu nestacionarity proudění

Použitá metodika výpočtu charakteristik proudění nepočítá s vlivem neustáleného proudění na odtokové poměry (v souladu s Metodikou zpracování SZÚ).

Výpočet charakteristik proudění metodou ustáleného proudění zcela odpovídá Metodice zpracování SZÚ, metodice pořizování hydrologických dat (N-letých průtoků) a především požadavkům Směrnice 2007/60/ES.

4.3 Způsob zadávání OP a PP

Vzhledem k rozlehlosti zájmového území (cca 55 km toku Lužnice) a nutnosti schematizovat většinu záplavového území 2D matematickým modelem byly v zájmovém úseku postaveny dva samostatné modely – oba v technologii MIKE Flood (tedy oba jsou kombinací 2D a 1D):

- **model JIH** - od hráze rybníka Rožmberka po rybník Švadlačky (ř.km 94,119 až 68,935)
Model tvoří systém větví 1D modelu (koryta Lužnice, Nežárky, Adolfky, Degárky a větví schematizujících proudění v inundačním území v cca 1 km dlouhém „překryvném“ úseku obou modelů) a celkem 178 881 elementů 2D modelu.
Horní okrajové podmínky jsou ustálené průtoky na Lužnici (hráz rybníka Rožmberka) a Nežárce (ř.km 2,922). Výpustný objekt i s MVE v hrázi rybníka Rožmberka má maximální kapacitu cca $43 \text{ m}^3\text{s}^{-1}$ v závislosti na úrovni hladiny v rybníku [ii]. Odtok z Rožmberka (HOP na Lužnici) byl proto rozdělen na průtok hlavním korytem a odtok Adolfkou (ať už z vedlejší výpusti či od bezpečnostního přelivu). Průtoky ve významných přítocích (Miletínský a Bechyňský potok) byly zadávány jako bodové zdroje. Hodnoty průtoků pro jednotlivé okrajové podmínky při různých Q_N uvádí tab. 6.
Dolní okrajovou podmínkou 1D modelu jsou konstantní úrovně hladin, vypočtené modelem SEVER v ř.km 68,935) pro jednotlivé Q_N .
- **model SEVER** - od silničního mostu v Dráhově po Tábor (ř.km 69,949 až 38,165)
Model tvoří systém větví 1D modelu (koryta Lužnice a větví schematizujících proudění v inundačních územích v cca 1 km dlouhém „překryvném“ úseku obou modelů a v úseku pod Sezimovým Ústím) a celkem 92 704 elementů 2D modelu.
Horní okrajovou podmínkou je ustálený průtok v Lužnici (v pf. Dráhov; odpovídá hodnotám „Lužnice – nad Dírenským p.“ v tab. 3). Průtoky ve významných přítocích (Dírenský, Černovický, Maršovský a Chotovinský potok) byly zadávány jako bodové zdroje. Hodnoty průtoků pro jednotlivé okrajové podmínky při různých Q_N uvádí tab. 6.
Dolní okrajovou podmínkou modelu je úroveň hladiny v Lužnici v ř.km 38,165 vypočtená dle konzumční křivky tohoto profilu modelem MIKE 11.

Způsob schematizace proudění v jednotlivých úsecích (modelových celcích) pomocí 2D a 1D modelů je popsána v kap. 4.1.

5 Popis numerického modelu

5.1 Použité programové vybavení

Pro simulaci ustáleného nerovnoměrného proudění byl použit dvourozměrný matematický model proudění v otevřeném korytě s inundačním územím MIKE 21FM, verze 2019 v kombinaci s jednorozměrným modelem MIKE 11.

Výstupem modelu MIKE 21FM jsou primárně tyto charakteristiky proudění:

- hodnoty úrovní hladiny vody
- vektory rychlostí (tj. směr a velikost vektorů rychlostí, nebo též možno vyjádřit pomocí velikosti podélné a příčné složky vektoru rychlosti)

ve všech výpočetních bodech zájmové oblasti a pro všechny počítané časové kroky. 2D model tak dává reálnou představu o zakřivené ploše hladiny v celém inundačním území (např. při ustáleném proudění je hladina v neprotékání inundačním území výše než v korytě) i o rozdělení rychlostí v celé inundační oblasti.

Charakteristiky proudění ovlivňují především reliéf terénu (tvar koryta, inundačního území, sklonové poměry) a odpory proudění (drsnost a tvarové odpory – zúžení resp. rozšíření průtočného profilu, oblouky, obtékání překážek, proudění přes objekty, apod.). Velkou pozornost je proto třeba věnovat přípravě souboru s geometrickými daty pro 2D model, neboť tento soubor v sobě obsahuje jak vlastní reliéf terénu tak i veškerá data pro výpočet tvarových odporů.

Pro modelování toku v korytě je použit 1D model MIKE 11, jehož výstupy jsou hydraulické charakteristiky toku v bodech. Výsledky z tohoto modelu je třeba distribuovat na plochu celého toku, čímž se do systému vnáší určitý stupeň nepřesnosti. Tato nevýhoda je kompenzována výraznou stabilitou modelu zejména při popisu objektů v toku. Zároveň je třeba si uvědomit, že v průběhu povodně je informace o rychlostech a hloubkách přímo v toku méně podstatná. Daný prostor je vždy vyhodnocen jako vysoce rizikový.

Podrobná specifikace modelu, detailní popis všech jeho vstupních souborů a jeho použití lze najít v manuálech programu - *M21FM_User_Guide.pdf*, *M21FM_GridGenerator.pdf*, *MIKE21FM_Scientific_documentation.pdf* a *M11_User_Guide.pdf*, *M11_Scientific_documentation.pdf*.

5.2 Vstupní data numerického modelu

Z dostupných podkladů (viz kap. 3.1 Topologické podklady) byl nejprve sestaven digitální model terénu.

Při přípravě modelu v daném úseku byla vytvořena trojúhelníková síť vymezující oblast modelu, doplněna ve specifických případech výpočetními čtyřúhelníky. Z dostupných podkladů (viz kap. 3.1 Topologická data) byl sestaven digitální model terénu zájmové oblasti. Promítnutím této sítě na DMT byl získán geometrický (batymetrický) model terénu ve **výpočetní síti modelu MIKE 21 FM**. Hustota sítě (vzdálenost mezi výpočetními body) je proměnlivá - v rozsahu cca $4 \div 60$ m. V intravilánu s hustou zástavbou a v oblastech, kde potřebujeme detailní znalost hydraulických charakteristik, je výpočetní síť hustší, v širokém záplavovém území je výpočetní síť řidší. Pro potřeby studie je míra schematizace zájmového území dostatečně jemná pro podrobný popis prostorových jevů proudění v oblasti. Domy a bloky domů jsou z výpočetní sítě vyňaty (v matematickém modelu jsou tedy „obtékané“); ploty a jiné překážky podobného charakteru byly simulovány pruhy zvýšené drsnosti. Vlastní tok s objekty hydraulicky významnými je popsán pomocí 1D schematizace **modelu MIKE 11** vzájemně propojených výpočetních bodů na toku. Na rozhraní mezi oběma modely, většinou na břehové hraně, byly sestaveny linky simulující přetékání vody mezi zaplavovaným územím a řekou.

Hráze PPO byly do batymetrie zadány kótami odpovídajícími niveletě koruny hráze. **Protipovodňové zdi a mobilní hrazení** byly zadávány funkcí „Hráze (Dikes)“ MIKE 21 FM, která umožňuje vytvořit linie hrází (de facto o

nulové šířce), jež se promítou do hran výpočetní sítě a jsou přelévány až po překročení zadané nivelety (jednotlivě v bodech tvořících linii). Průtok přepadající přes liniu hráze je počítán podle rovnice zatopeného/nezatopeného přepadu.

5.2.1 Morfologie vodního toku a záplavového území

Charakter toku byl již popsán v kap. 2 a 3.

Popis objektů na toku je uváděn po směru proudu; stanicení je „evropské“ (zdroj DIBAVOD).

Tabulka 4 – Přehled objektů na toku

řeka	ř.km.	Popis objektu
Lužnice	76.866	Most pro pěší – Veselí nad Lužnicí
Lužnice	76.815	železniční most - Veselí nad Lužnicí
Lužnice	76.466	lávka
Lužnice	75.891	lávka
Lužnice	75.782	silniční most - Veselí nad Lužnicí (silnice II./603)
Lužnice	75.664	pohyblivý jez - Veselí nad Lužnicí
Lužnice	75.154	lávka pro pěší – Veselí nad Lužnicí
Lužnice	74.540	lávka pro pěší – Veselí nad Lužnicí
Lužnice	74.510	silniční most - Veselí nad Lužnicí (silnice I./3)
Lužnice	72.900	silniční most – dálnice D3
Lužnice	70.052	jez - Dráhov
Lužnice	69.959	silniční most - Dráhov
Lužnice	67.905	jez - Čejnov
Lužnice	65.269	lávka
Lužnice	64.522	jez - Soběslav
Lužnice	64.295	silniční most - Soběslav (silnice II./135)
Lužnice	62.787	jez - Špačkův Mlýn
Lužnice	62.710	lávka pro pěší
Lužnice	60.512	silniční most - Klenovice
Lužnice	57.877	lávka - Skalice
Lužnice	56.340	jez - Roudná
Lužnice	48.757	jez - Planá nad Lužnicí
Lužnice	48.682	silniční most - Planá nad Lužnicí
Lužnice	46.374	jez - Soukeník
Lužnice	44.326	silniční most - Sezimovo Ústí
Lužnice	43.865	jez - Sezimovo Ústí
Lužnice	42.705	silniční most - Buriánka
Lužnice	41.338	železniční most
Lužnice	41.235	jez - Tábor
Lužnice	40.478	jez - Tábor, Suchomel
Lužnice	40.158	silniční most - Tábor
Lužnice	39.721	jez - Tábor
Lužnice	39.383	silniční most - Tábor (silnice II./137)
Lužnice	39.051	jez - Tábor

5.2.2 Drsnosti hlavního koryta a inundačních území

Hydraulická drsnost a místní zvýšené odpory proudění jsou pro model MIKE 21FM zadávány pro každý element výpočetní sítě. Základní „mapa drsností“ byla vytvořena zpracováním podrobných ortofotomap a informací ZABAGED® (každý element výpočetní sítě získal drsnost „propichnutím“ výpočetní sítě s databází klasifikující území) v modelové oblasti; hodnoty Manningova součinitele drsnosti „n“ ukazuje tabulka 5.

Součinitele drsnosti koryta jsou v modelu MIKE 11 zadávány pro jednotlivé výpočetní úseky a jejich finální hodnoty jsou výsledkem kalibračních výpočtů.

Tabulka 5 – Hodnoty Manningova součinitele drsnosti „n“-

Popis povrchu	n
hladké plochy, ulice, volná prostranství	0,030
nízká, sekaná tráva	0,035 – 0,042
výšší, nesekaná tráva, pole	0,053 – 0,065
řídký lesní porost	0,060 – 0,064
hustý lesní porost	0,087 – 0,106
keře	0,085 ÷ 0,110
technické stavby	0,070 ÷ 0,100
ploty	0,090 ÷ 0,220

5.2.3 Hodnoty okrajových podmínek

Tabulka 6 – schema N-letých průtoků pro simulace [m^3s^{-1}]

ř.km	scénář LUŽNICE				scénář NEŽÁRKA				
	Q ₅	Q ₂₀	Q ₁₀₀	Q ₅₀₀	Q ₅	Q ₂₀	Q ₁₀₀	Q ₅₀₀	
Lužnice – pod Rožmberkem	94,2	26	55	120	235	8	26	81	158
<i>z toho: výpustný objekt</i>	---	26	36	39	42	8	26	38	40
<i>přepad do Adolfky</i>	---	0	19	81	193	0	0	43	118
Miletínský potok	86,3	8	13	25	44	0	0	0	0
Lužnice – LGS Frahelž	84,73	34	68	145	279	8	26	81	158
Nežárka – ústí	75,31	77	115	170	213	103	157	234	334
Lužnice – pod Nežárkou	---	111	183	315	492	111	183	315	492
Bechyňský potok	74,60	15	22	18	15	15	22	18	15
Dírenský potok	67,61	12	17	20	16	12	17	20	16
Černovický potok	64,90	13	18	21	22	13	18	21	22
Lužnice – LGS Klenovice	60,47	151	240	374	545	151	240	374	545
Maršovský potok	50,59	16	25	33	38	16	25	33	38
Chotovinský potok	44,43	20	31	47	63	20	31	47	63
Lužnice – Tábor	39,0	187	296	454	646	187	296	454	646
úroveň hladiny [m n.m. B.p.v.]		385,55	386,34	387,30	388,74	385,55	386,34	387,30	388,74

5.2.4 Hodnoty počátečních podmínek

Počáteční podmínky – kóty hladin ve všech bodech výpočetní sítě – byly odvozovány z výsledků dříve provedených výpočtů.

5.2.5 Diskuze k nejistotám a úplnosti vstupních dat

Každý výpočetní model je vždy schematizací skutečnosti. Chyba výsledných vypočtených charakteristik proudění (úrovně hladin, hloubky, rychlosti) je dána superpozicí chyb dat a procesů vstupujících do celého systému. Míra nejistoty tak plyne především z chybných vstupních dat (nedostatečně popsaná topologie území a koryta, chyby v zaměření a zpracování geodetických dat, špatný odhad drsnostních charakteristik a hydraulických odporů, chyby/nejistoty v hydrologických datech).

5.3 Popis kalibrace modelu

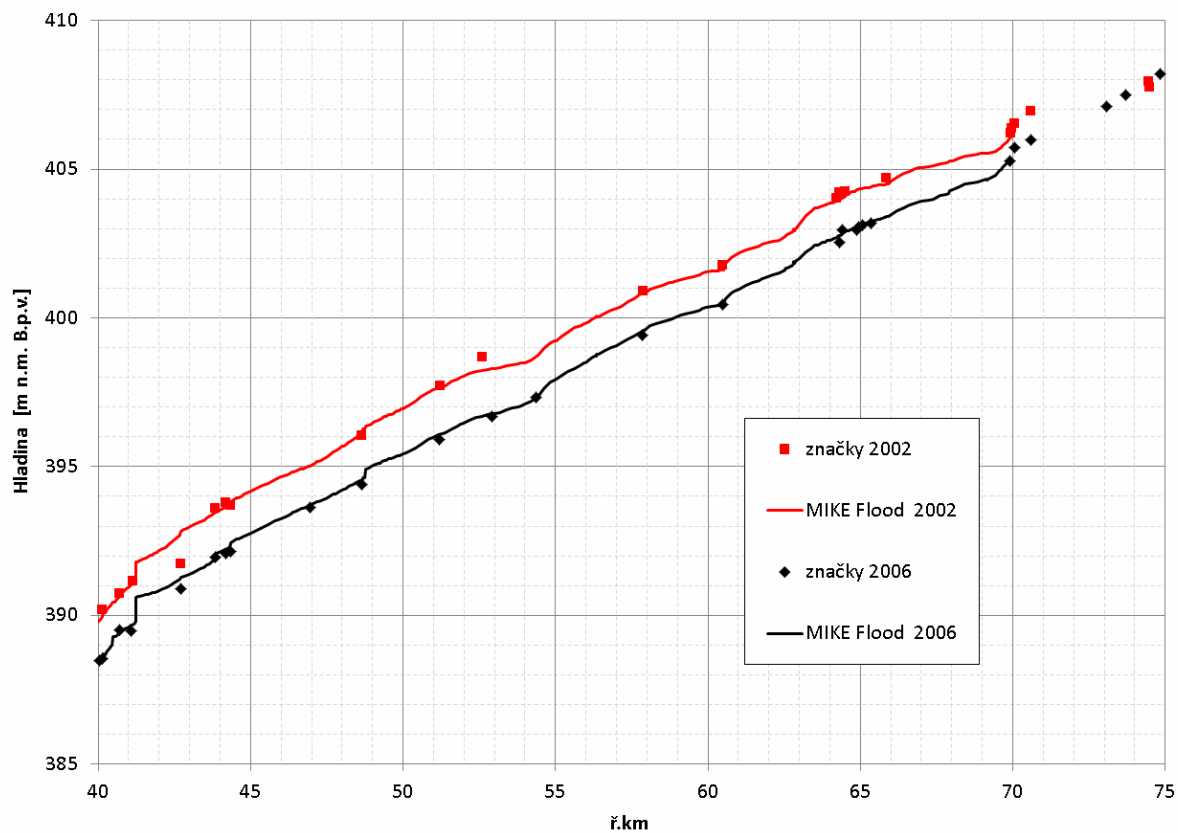
Kalibrace modelu byla provedena pomocí série kalibračních výpočtů, při kterých byly upravovány hodnoty součinitelů drsnosti v celé ploše modelu (tj. v jednotlivých úsecích koryta a rovněž i v inundačním území dle typu zástavby či využití území) tak, aby při shodných průtocích bylo dosaženo uspokojivé shody mezi vypočtenými a zaměřenými průběhy hladin, resp. značkami hladin.

Ke kalibraci modelu byly využity soubory dat historických povodní v srpnu 2002 a dubnu 2006. Jedná se o povodně relativně nedávné – charakter toku a zástavba a rozvoj území se od těchto povodní příliš nezměnily. Pro obě tyto povodně je k dispozici bohatý soubor značek kulminační hladiny s vyhodnocenými nadmořskými výškami. Přestože některé hydrologické údaje k těmto povodním chybějí (viz tab. 2), bylo možné zrekonstruovat hydrologické zatěžovací stavy modelu pro výpočet ustáleného proudění – předmětem kalibrace je tedy výpočet hladin při kulminačním průtoku.

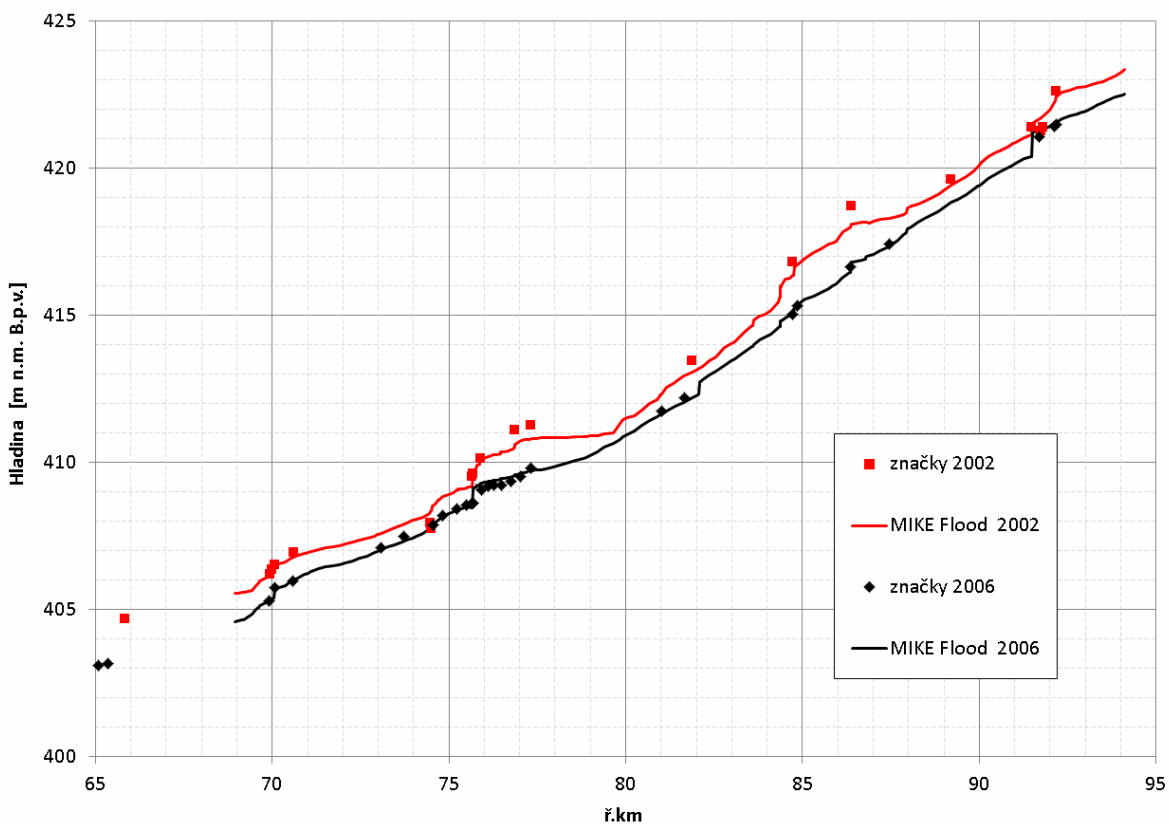
Výsledky kalibrace modelu pro obě historické povodně jsou uvedeny na obrázcích obr. 2 a 3. Z grafů je patrná dobrá shoda mezi zaměřenými průběhy hladin a výsledky kalibračních výpočtů v modelu SEVER, a to pro obě kalibrační povodně. Pomineme-li jen několik málo nepřesných či chybně vyhodnocených kulminačních značek, je odchylka vypočtených úrovní hladin od změřených v intervalu ± 10 cm (ojediněle až ± 15 cm), a to v celé délce podélného profilu.

U modelu JIH bylo dosaženo velmi dobré shody mezi vypočteným průběhem hladiny a vyhodnocenými značkami pro povodeň z dubna 2006 – odchyly do 10 cm. U povodně ze srpna 2002 zaznamenáváme dobrou shodu v oblastech horního okraje modelu (pod hrází Rožemberka) a dolního okraje (již spojené proudy Lužnice a Nežárky). Největší rozdíly byly zjištěny v okolí ř.km 77 a ř.km 86. Důvodem může být značná nejistota v hodnotě kulminačního průtoku v těchto oblastech. Při povodni v r. 2002 došlo k přelití rybničních hrází, celá oblast rybníků byla víceméně spojite zaplavena a při porušování hrází mohlo docházet k silným nestacionárním jevům. Na úroveň kulminačních značek v okolí ř.km 77 a ř.km 86 není možné se s hladinou dostat ani extrémně vysokými hodnotami součinitelů drsnosti (ještě reálnými), ani zvýšením průtoku – i značné zvýšení průtoku se projeví především vysším průtokem v široké oblasti přelítých rybníků a zvýšením hladiny jen o několik centimetrů.

I přes výše uvedené výhrady ke kalibraci na povodeň ze srpna 2002, můžeme celkově považovat výsledek kalibrace za velmi dobrý. Povodeň z dubna 2006 odpovídá svým kulminačním průtokem cca Q_{50} v celém zájmovém úseku. Součinitele drsnosti získané z této kalibrace byly proto následně použity při simulaci Q_5 , Q_{20} a Q_{100} v zájmovém území. Povodeň ze srpna 2002 je extrémní – kulminačním průtokem přesahuje Q_{500} , ve stanicích Frahelž a Klenovice dokonce Q_{1000} . Součinitele drsnosti získané z této kalibrace byly proto použity při simulaci Q_{500} .



Obrázek 2 – Výsledky kalibrace „modelu SEVER“



Obrázek 3 – Výsledky kalibrace „modelu JIH“

Verifikace modelu na povodeň z června 2013

Numerický model aktualizovaného úseku Lužnice (ř.km 39,0 – ř.km 77,5) nemohl být verifikován na povodeň z června 2013 v celém rozsahu modelu, neboť velikost kulminačního průtoku je podél toku velmi proměnlivá – mění se od Q_5 až po Q_{100} – viz tab. 2 v kap. 2.2. Hodnoty vyhodnocených kulminačních průtoků jsou známy jen v limnigrafických stanicích a nebylo proto možné věrohodně zrekonstruovat hodnoty kulminačních průtoků podél posuzovaného úseku.

Z tohoto důvodu se verifikace zaměřila na shodu vypočtené hladiny s kulminačním vodním stavem zaznamenaným v LGS Klenovice pro vyhodnocený kulminační průtok $Q = 204 \text{ m}^3\text{s}^{-1}$. Numerický model vypočetl úroveň hladiny pro tento průtok 399,80 m n.m.; zaznamenaný kulminační stav $h = 330 \text{ cm} (= 399,81 \text{ m n.m. B.p.v.})$. Je tedy možné konstatovat, že numerický model (zkalibrovaný v 1. cyklu projektu [ii]) na kulminační značky historických povodní v srpnu 2002 a dubnu 2006 vypočetl pro kulminační průtok povodně z června 2013 úroveň hladiny téměř shodnou (s rozdílem 0,01 m) se zaznamenanou v limnigrafické stanici. V úseku přiléhajícím LGS Klenovice tak byl úspěšně verifikován na povodeň v rozsahu Q_{10} až Q_{20} .

6 Výsledky

6.1 Výstupy z hydrodynamických modelů

Základní informací, kterou poskytují výsledky 2D matematického modelu, je **průběh hladin** a rozložení **vektorů rychlostí** (tj. směrů a velikostí vektorů rychlostí) v celé zájmové oblasti (tj. „v ploše“). Vektory svislicových rychlostí mohou být rozloženy na podélnou a příčnou složku (vzhledem k zakřivené ose výpočetní sítě, resp. jinému souřadnicovému systému). S užitím základních hydraulických vztahů mohou být vyjádřeny další veličiny: **hloubka** vody (rozdíl vypočtené úrovně hladiny a terénu, resp. nivelety dna) a **měrné průtoky** (násobky vektorů rychlostí a hloubek).

Mapy hloubek a rychlostí byly základními vstupními parametry pro stanovení míry povodňového nebezpečí v záplavovém území.

Tabulka 7 – Psaný podélný profil

Staničení [km]	Úroveň dna [m n. n.]	Q_5 [m ³ /s]	H_5 [m n. n.]	Q_{20} [m ³ /s]	H_{20} [m n. n.]	Q_{100} [m ³ /s]	H_{100} [m n. n.]	Q_{500} [m ³ /s]	H_{500} [m n. n.]
39,000	383,03	187,0	385,55	296,0	386,34	454,0	387,30	646,0	388,74
39,041	383,76	187,0	385,55	296,0	386,49	454,0	387,41	646,0	388,99
39,051		jez Pokorný - Tábor							
39,061	383,85	187,0	386,01	296,0	386,64	454,0	387,52	646,0	389,14
39,276	383,19	187,0	386,32	296,0	386,97	454,0	387,83	646,0	389,37
39,380	383,36	187,0	386,42	296,0	387,08	454,0	387,95	646,0	389,52
39,383		silniční most - Tábor (silnice II./137)							
39,518	383,47	187,0	386,53	296,0	387,21	454,0	388,09	646,0	389,62
39,591	383,95	187,0	386,59	296,0	387,27	454,0	388,14	646,0	389,66
39,657	384,19	187,0	386,74	296,0	387,43	454,0	388,30	646,0	389,75
39,711	384,19	187,0	386,83	296,0	387,52	454,0	388,39	646,0	389,81
39,721		jez Veselý - Tábor							
39,731	383,63	187,0	387,62	296,0	388,27	454,0	389,15	646,0	390,44
39,821	383,63	187,0	387,63	296,0	388,28	454,0	389,16	646,0	390,45
39,877	384,31	187,0	387,64	296,0	388,30	454,0	389,18	646,0	390,47
39,941	384,45	187,0	387,68	296,0	388,34	454,0	389,22	646,0	390,50
40,011	384,17	187,0	387,72	296,0	388,39	454,0	389,27	646,0	390,55
40,080	384,18	187,0	387,76	296,0	388,44	454,0	389,32	646,0	390,59
40,150	384,13	187,0	387,80	296,0	388,50	454,0	389,39	646,0	390,64
40,158		silniční most - Tábor							
40,168	384,18	187,0	387,85	296,0	388,57	454,0	389,48	646,0	390,73
40,220	384,19	187,0	387,85	296,0	388,56	454,0	389,46	646,0	390,71
40,295	384,23	187,0	387,93	296,0	388,66	454,0	389,57	646,0	390,79

Analýza oblastí s významným povodňovým rizikem v povodí Vltavy a podklady k Plánu pro zvládání povodňových rizik v povodí Labě
B. TECHNICKÁ ZPRÁVA – HYDRODYNAMICKÉ MODELY A MAPY POVODŇOVÉHO NEBEZPEČÍ

Staničení [km]	Úroveň dna [m n. n.]	Q_5 [m³/s]	H_5 [m n. n.]	Q_{20} [m³/s]	H_{20} [m n. n.]	Q_{100} [m³/s]	H_{100} [m n. n.]	Q_{500} [m³/s]	H_{500} [m n. n.]
40,346	385,06	187,0	387,99	296,0	388,73	454,0	389,64	646,0	390,85
40,408	384,99	187,0	388,06	296,0	388,80	454,0	389,70	646,0	390,89
40,468	385,04	187,0	388,11	296,0	388,84	454,0	389,74	646,0	390,93
40,478		jez Suchomel - Tábor							
40,488	384,59	187,0	388,53	296,0	389,06	454,0	389,79	646,0	390,96
40,534	384,64	187,0	388,54	296,0	389,07	454,0	389,79	646,0	390,95
40,602	384,78	187,0	388,57	296,0	389,11	454,0	389,85	646,0	391,01
40,671	384,74	187,0	388,60	296,0	389,15	454,0	389,90	646,0	391,05
40,740	384,82	187,0	388,63	296,0	389,21	454,0	389,97	646,0	391,12
40,812	384,71	187,0	388,67	296,0	389,26	454,0	390,04	646,0	391,18
40,868	385,37	187,0	388,69	296,0	389,30	454,0	390,09	646,0	391,23
40,937	384,96	187,0	388,73	296,0	389,34	454,0	390,14	646,0	391,27
41,017	384,88	187,0	388,76	296,0	389,38	454,0	390,19	646,0	391,31
41,089	385,16	187,0	388,79	296,0	389,43	454,0	390,24	646,0	391,37
41,160	385,83	187,0	388,83	296,0	389,48	454,0	390,30	646,0	391,42
41,225	385,88	187,0	388,90	296,0	389,57	454,0	390,39	646,0	391,49
41,235		jez Přibík - Tábor							
41,245	385,04	187,0	389,81	296,0	390,39	454,0	391,12	646,0	391,91
41,306	385,09	187,0	389,81	296,0	390,39	454,0	391,12	646,0	391,91
41,338		železniční most Tábor - Bechyně							
41,345	385,05	187,0	389,82	296,0	390,40	454,0	391,13	646,0	391,92
41,455	385,14	187,0	389,84	296,0	390,43	454,0	391,18	646,0	391,99
41,540	385,36	187,0	389,85	296,0	390,46	454,0	391,21	646,0	392,03
41,630	385,27	187,0	389,87	296,0	390,48	454,0	391,24	646,0	392,07

Analýza oblastí s významným povodňovým rizikem v povodí Vltavy a podklady k Plánu pro zvládání povodňových rizik v povodí Labe
B. TECHNICKÁ ZPRÁVA – HYDRODYNAMICKÉ MODELY A MAPY POVODŇOVÉHO NEBEZPEČÍ

Staničení [km]	Úroveň dna [m n. n.]	Q ₅ [m ³ /s]	H ₅ [m n. n.]	Q ₂₀ [m ³ /s]	H ₂₀ [m n. n.]	Q ₁₀₀ [m ³ /s]	H ₁₀₀ [m n. n.]	Q ₅₀₀ [m ³ /s]	H ₅₀₀ [m n. n.]
41,702	385,43	187,0	389,88	296,0	390,49	454,0	391,26	646,0	392,11
41,768	385,41	187,0	389,89	296,0	390,51	454,0	391,28	646,0	392,13
41,842	385,51	187,0	389,90	296,0	390,52	454,0	391,30	646,0	392,16
41,922	385,49	187,0	389,92	296,0	390,56	454,0	391,34	646,0	392,21
41,992	386,41	187,0	389,94	296,0	390,59	454,0	391,38	646,0	392,26
42,063	386,43	187,0	389,97	296,0	390,62	454,0	391,42	646,0	392,30
42,127	386,33	187,0	389,99	296,0	390,64	454,0	391,43	646,0	392,32
42,202	386,42	187,0	390,03	296,0	390,68	454,0	391,47	646,0	392,36
42,259	386,01	187,0	390,05	296,0	390,71	454,0	391,50	646,0	392,41
42,325	386,19	187,0	390,08	296,0	390,75	454,0	391,56	646,0	392,47
42,528	386,31	187,0	390,16	296,0	390,85	454,0	391,68	646,0	392,62
42,686	386,47	187,0	390,23	296,0	390,94	454,0	391,79	646,0	392,76
42,695	385,71	187,0	390,24	296,0	390,96	454,0	391,81	646,0	392,77
42,705		silniční most - Buriánka							
42,714	386,00	187,0	390,28	296,0	391,01	454,0	391,89	646,0	392,88
42,722	386,74	187,0	390,27	296,0	391,01	454,0	391,89	646,0	392,87
42,813	386,08	187,0	390,31	296,0	391,05	454,0	391,94	646,0	392,94
42,902	386,33	187,0	390,33	296,0	391,08	454,0	391,98	646,0	392,98
43,125	386,64	187,0	390,40	296,0	391,17	454,0	392,07	646,0	393,08
43,352	386,95	187,0	390,52	296,0	391,29	454,0	392,19	646,0	393,18
43,429	387,18	187,0	390,55	296,0	391,32	454,0	392,22	646,0	393,21
43,499	387,01	187,0	390,60	296,0	391,37	454,0	392,26	646,0	393,25
43,571	386,96	187,0	390,64	296,0	391,41	454,0	392,30	646,0	393,30
43,647	387,55	187,0	390,71	296,0	391,48	454,0	392,36	646,0	393,35

Staničení [km]	Úroveň dna [m n. n.]	Q ₅ [m ³ /s]	H ₅ [m n. n.]	Q ₂₀ [m ³ /s]	H ₂₀ [m n. n.]	Q ₁₀₀ [m ³ /s]	H ₁₀₀ [m n. n.]	Q ₅₀₀ [m ³ /s]	H ₅₀₀ [m n. n.]
43,733	387,40	187,0	390,79	296,0	391,54	454,0	392,41	646,0	393,40
43,855	388,44	187,0	390,89	296,0	391,64	454,0	392,50	646,0	393,48
43,865		jez Veselý - Sezimovo Ústí							
43,875	388,33	187,0	391,61	296,0	391,94	454,0	392,54	646,0	393,50
43,952	387,04	187,0	391,63	296,0	391,98	454,0	392,58	646,0	393,54
44,026	387,76	187,0	391,65	296,0	392,01	454,0	392,62	646,0	393,59
44,091	387,44	187,0	391,67	296,0	392,04	454,0	392,66	646,0	393,63
44,164	387,51	187,0	391,68	296,0	392,07	454,0	392,70	646,0	393,67
44,253	387,91	187,0	391,71	296,0	392,10	454,0	392,75	646,0	393,72
44,316	388,31	187,0	391,73	296,0	392,14	454,0	392,80	646,0	393,76
44,326		silniční most - Sezimovo Ústí							
44,336	388,32	187,0	391,78	296,0	392,24	454,0	392,92	646,0	393,85
44,355	388,22	187,0	391,79	296,0	392,25	454,0	392,94	646,0	393,87
44,425	387,91	187,0	391,84	296,0	392,32	454,0	393,01	646,0	393,94
44,524	387,78	167,0	391,87	265,0	392,37	407,0	393,06	583,0	393,99
44,588	387,79	167,0	391,89	265,0	392,39	407,0	393,09	583,0	394,01
44,661	387,90	167,0	391,90	265,0	392,41	407,0	393,11	583,0	394,02
44,717	388,09	167,0	391,91	265,0	392,43	407,0	393,13	583,0	394,04
44,796	387,78	167,0	391,93	265,0	392,46	407,0	393,17	583,0	394,09
45,007	387,96	167,0	391,97	265,0	392,52	407,0	393,26	583,0	394,19
45,190	388,10	167,0	392,02	265,0	392,60	407,0	393,34	583,0	394,27
45,269	388,27	167,0	392,05	265,0	392,63	407,0	393,37	583,0	394,31
45,388	388,59	167,0	392,09	265,0	392,68	407,0	393,43	583,0	394,36
45,573	388,85	167,0	392,16	265,0	392,75	407,0	393,50	583,0	394,42

Staničení [km]	Úroveň dna [m n. n.]	Q_5 [m ³ /s]	H_5 [m n. n.]	Q_{20} [m ³ /s]	H_{20} [m n. n.]	Q_{100} [m ³ /s]	H_{100} [m n. n.]	Q_{500} [m ³ /s]	H_{500} [m n. n.]
45,784	388,50	167,0	392,26	265,0	392,87	407,0	393,62	583,0	394,53
45,994	388,35	167,0	392,31	265,0	392,94	407,0	393,69	583,0	394,60
46,194	388,68	167,0	392,36	265,0	393,00	407,0	393,77	583,0	394,68
46,274	389,22	167,0	392,38	265,0	393,03	407,0	393,80	583,0	394,71
46,364	389,22	167,0	392,41	265,0	393,07	407,0	393,84	583,0	394,75
46,374		jez Soukeník							
46,384	388,87	167,0	392,74	265,0	393,23	407,0	393,87	583,0	394,77
46,484	388,74	167,0	392,75	265,0	393,24	407,0	393,88	583,0	394,78
46,680	389,25	167,0	392,80	265,0	393,31	407,0	393,97	583,0	394,87
46,697	389,30	167,0	392,80	265,0	393,31	407,0	393,97	583,0	394,87
46,904	389,26	167,0	392,85	265,0	393,38	407,0	394,04	583,0	394,93
46,953	389,17	167,0	392,87	265,0	393,40	407,0	394,07	583,0	394,96
46,969	389,17	167,0	392,87	265,0	393,41	407,0	394,08	583,0	394,97
47,111	388,89	167,0	392,91	265,0	393,46	407,0	394,15	583,0	395,05
47,170	389,14	167,0	392,92	265,0	393,49	407,0	394,19	583,0	395,09
47,204	388,86	167,0	392,93	265,0	393,50	407,0	394,20	583,0	395,09
47,295	388,87	167,0	392,95	265,0	393,53	407,0	394,23	583,0	395,13
47,506	388,63	167,0	393,00	265,0	393,60	407,0	394,33	583,0	395,24
47,712	389,20	167,0	393,05	265,0	393,69	407,0	394,44	583,0	395,39
47,770	389,32	167,0	393,07	265,0	393,71	407,0	394,47	583,0	395,42
47,844	389,44	167,0	393,09	265,0	393,73	407,0	394,50	583,0	395,45
47,915	389,59	167,0	393,11	265,0	393,77	407,0	394,56	583,0	395,52
47,987	389,43	167,0	393,14	265,0	393,81	407,0	394,60	583,0	395,57
48,067	389,48	167,0	393,16	265,0	393,84	407,0	394,63	583,0	395,59

Analýza oblastí s významným povodňovým rizikem v povodí Vltavy a podklady k Plánu pro zvládání povodňových rizik v povodí Labe
B. TECHNICKÁ ZPRÁVA – HYDRODYNAMICKÉ MODELY A MAPY POVODŇOVÉHO NEBEZPEČÍ

Stanicení [km]	Úroveň dna [m n. n.]	Q_5 [m ³ /s]	H_5 [m n. n.]	Q_{20} [m ³ /s]	H_{20} [m n. n.]	Q_{100} [m ³ /s]	H_{100} [m n. n.]	Q_{500} [m ³ /s]	H_{500} [m n. n.]
48,133	389,47	167,0	393,18	265,0	393,87	407,0	394,67	583,0	395,64
48,214	389,64	167,0	393,21	265,0	393,91	407,0	394,72	583,0	395,70
48,275	389,73	167,0	393,23	265,0	393,94	407,0	394,77	583,0	395,75
48,353	389,57	167,0	393,26	265,0	393,98	407,0	394,82	583,0	395,81
48,449	389,64	167,0	393,28	265,0	394,02	407,0	394,86	583,0	395,87
48,533	389,37	167,0	393,31	265,0	394,05	407,0	394,90	583,0	395,91
48,598	390,01	167,0	393,33	265,0	394,08	407,0	394,94	583,0	395,94
48,664	390,15	167,0	393,36	265,0	394,11	407,0	394,98	583,0	395,99
48,672	389,03	167,0	393,37	265,0	394,13	407,0	395,00	583,0	396,01
48,682		silniční most - Planá nad Lužnicí							
48,692	389,03	167,0	393,39	265,0	394,16	407,0	395,07	583,0	396,14
48,709	390,43	167,0	393,39	265,0	394,15	407,0	395,06	583,0	396,13
48,729	390,48	167,0	393,39	265,0	394,16	407,0	395,07	583,0	396,14
48,747	390,43	167,0	393,40	265,0	394,17	407,0	395,09	583,0	396,15
48,757		jez - Planá nad Lužnicí							
48,767	390,90	167,0	394,21	265,0	394,67	407,0	395,30	583,0	396,26
48,876	390,90	167,0	394,23	265,0	394,71	407,0	395,34	583,0	396,30
48,955	391,03	167,0	394,25	265,0	394,73	407,0	395,38	583,0	396,33
49,027	390,90	167,0	394,27	265,0	394,76	407,0	395,42	583,0	396,37
49,099	390,80	167,0	394,29	265,0	394,79	407,0	395,46	583,0	396,41
49,171	390,10	167,0	394,30	265,0	394,82	407,0	395,49	583,0	396,44
49,242	390,64	167,0	394,31	265,0	394,83	407,0	395,51	583,0	396,47
49,316	390,71	167,0	394,33	265,0	394,87	407,0	395,56	583,0	396,52
49,383	390,98	167,0	394,35	265,0	394,89	407,0	395,59	583,0	396,56

Staničení [km]	Úroveň dna [m n. n.]	Q_5 [m³/s]	H_5 [m n. n.]	Q_{20} [m³/s]	H_{20} [m n. n.]	Q_{100} [m³/s]	H_{100} [m n. n.]	Q_{500} [m³/s]	H_{500} [m n. n.]
49,446	390,81	167,0	394,36	265,0	394,91	407,0	395,61	583,0	396,58
49,523	390,58	167,0	394,37	265,0	394,94	407,0	395,65	583,0	396,62
49,598	389,94	167,0	394,39	265,0	394,96	407,0	395,67	583,0	396,65
49,669	390,24	167,0	394,40	265,0	394,97	407,0	395,69	583,0	396,67
49,738	390,46	167,0	394,41	265,0	395,00	407,0	395,73	583,0	396,71
49,800	390,92	167,0	394,43	265,0	395,02	407,0	395,76	583,0	396,76
49,872	390,75	167,0	394,44	265,0	395,04	407,0	395,78	583,0	396,78
49,939	391,13	167,0	394,46	265,0	395,06	407,0	395,81	583,0	396,81
50,013	390,92	167,0	394,48	265,0	395,09	407,0	395,84	583,0	396,84
50,083	391,02	167,0	394,50	265,0	395,12	407,0	395,88	583,0	396,89
50,156	390,82	167,0	394,52	265,0	395,15	407,0	395,91	583,0	396,93
50,391	391,02	167,0	394,58	265,0	395,24	407,0	396,03	583,0	397,06
50,585	391,28	167,0	394,67	265,0	395,37	407,0	396,17	583,0	397,21
50,800	391,10	151,0	394,77	240,0	395,48	374,0	396,31	545,0	397,36
50,883	391,07	151,0	394,80	240,0	395,52	374,0	396,35	545,0	397,40
50,971	391,50	151,0	394,83	240,0	395,56	374,0	396,40	545,0	397,46
51,167	391,32	151,0	394,88	240,0	395,63	374,0	396,47	545,0	397,53
51,366	391,26	151,0	394,94	240,0	395,70	374,0	396,55	545,0	397,62
51,603	391,40	151,0	395,03	240,0	395,80	374,0	396,67	545,0	397,76
51,786	392,02	151,0	395,10	240,0	395,88	374,0	396,76	545,0	397,84
51,890	391,47	151,0	395,14	240,0	395,93	374,0	396,81	545,0	397,90
51,975	391,78	151,0	395,17	240,0	395,96	374,0	396,84	545,0	397,92
52,167	391,70	151,0	395,24	240,0	396,04	374,0	396,93	545,0	398,00
52,382	391,46	151,0	395,30	240,0	396,10	374,0	397,01	545,0	398,08

Analýza oblastí s významným povodňovým rizikem v povodí Vltavy a podklady k Plánu pro zvládání povodňových rizik v povodí Labe
B. TECHNICKÁ ZPRÁVA – HYDRODYNAMICKÉ MODELY A MAPY POVODŇOVÉHO NEBEZPEČÍ

Staničení [km]	Úroveň dna [m n. n.]	Q_5 [m³/s]	H_5 [m n. n.]	Q_{20} [m³/s]	H_{20} [m n. n.]	Q_{100} [m³/s]	H_{100} [m n. n.]	Q_{500} [m³/s]	H_{500} [m n. n.]
52,577	390,82	151,0	395,37	240,0	396,16	374,0	397,05	545,0	398,12
52,760	391,49	151,0	395,45	240,0	396,21	374,0	397,09	545,0	398,15
52,887	391,48	151,0	395,49	240,0	396,24	374,0	397,12	545,0	398,17
52,987	391,55	151,0	395,52	240,0	396,26	374,0	397,14	545,0	398,19
53,182	392,63	151,0	395,62	240,0	396,32	374,0	397,18	545,0	398,23
53,377	391,63	151,0	395,78	240,0	396,42	374,0	397,25	545,0	398,29
53,571	392,50	151,0	395,89	240,0	396,49	374,0	397,30	545,0	398,33
53,772	391,89	151,0	396,00	240,0	396,55	374,0	397,34	545,0	398,36
53,868	392,47	151,0	396,05	240,0	396,59	374,0	397,35	545,0	398,37
54,001	393,00	151,0	396,15	240,0	396,65	374,0	397,39	545,0	398,39
54,221	392,55	151,0	396,32	240,0	396,80	374,0	397,49	545,0	398,47
54,426	392,31	151,0	396,43	240,0	396,95	374,0	397,65	545,0	398,61
54,626	392,53	151,0	396,58	240,0	397,15	374,0	397,87	545,0	398,83
54,831	392,67	151,0	396,72	240,0	397,34	374,0	398,10	545,0	399,04
54,949	393,10	151,0	396,76	240,0	397,40	374,0	398,17	545,0	399,09
55,026	393,40	151,0	396,78	240,0	397,43	374,0	398,19	545,0	399,10
55,200	393,33	151,0	396,88	240,0	397,55	374,0	398,32	545,0	399,24
55,395	393,55	151,0	396,98	240,0	397,66	374,0	398,44	545,0	399,38
55,612	393,64	151,0	397,07	240,0	397,77	374,0	398,55	545,0	399,50
55,826	393,81	151,0	397,18	240,0	397,88	374,0	398,65	545,0	399,58
55,922	393,74	151,0	397,22	240,0	397,93	374,0	398,72	545,0	399,63
56,017	393,88	151,0	397,26	240,0	397,98	374,0	398,78	545,0	399,69
56,082	394,00	151,0	397,31	240,0	398,03	374,0	398,82	545,0	399,71
56,211	394,24	151,0	397,39	240,0	398,12	374,0	398,91	545,0	399,79

Analýza oblastí s významným povodňovým rizikem v povodí Vltavy a podklady k Plánu pro zvládání povodňových rizik v povodí Labe
B. TECHNICKÁ ZPRÁVA – HYDRODYNAMICKÉ MODELY A MAPY POVODŇOVÉHO NEBEZPEČÍ

Staničení [km]	Úroveň dna [m n. n.]	Q_5 [m³/s]	H_5 [m n. n.]	Q_{20} [m³/s]	H_{20} [m n. n.]	Q_{100} [m³/s]	H_{100} [m n. n.]	Q_{500} [m³/s]	H_{500} [m n. n.]
56,280	394,42	151,0	397,43	240,0	398,16	374,0	398,94	545,0	399,83
56,330	394,54	151,0	397,45	240,0	398,18	374,0	398,96	545,0	399,85
56,340		jez - Roudná							
56,350	394,49	151,0	397,65	240,0	398,26	374,0	399,01	545,0	399,87
56,408	394,01	151,0	397,65	240,0	398,26	374,0	399,01	545,0	399,88
56,634	394,69	151,0	397,76	240,0	398,39	374,0	399,13	545,0	399,99
56,817	394,63	151,0	397,84	240,0	398,47	374,0	399,22	545,0	400,08
56,909	394,66	151,0	397,88	240,0	398,51	374,0	399,26	545,0	400,11
56,989	394,61	151,0	397,91	240,0	398,54	374,0	399,29	545,0	400,15
57,171	394,92	151,0	398,00	240,0	398,63	374,0	399,37	545,0	400,22
57,383	394,69	151,0	398,10	240,0	398,76	374,0	399,51	545,0	400,36
57,561	394,89	151,0	398,17	240,0	398,84	374,0	399,62	545,0	400,46
57,775	394,60	151,0	398,27	240,0	398,96	374,0	399,77	545,0	400,61
57,868	395,05	151,0	398,31	240,0	399,01	374,0	399,82	545,0	400,66
57,867	394,85	151,0	398,31	240,0	399,01	374,0	399,82	545,0	400,66
57,877		lávka - Skalice							
57,912	395,03	151,0	398,32	240,0	399,02	374,0	399,83	545,0	400,67
58,091	395,14	151,0	398,42	240,0	399,14	374,0	399,97	545,0	400,80
58,291	395,14	151,0	398,49	240,0	399,23	374,0	400,06	545,0	400,89
58,505	395,20	151,0	398,57	240,0	399,29	374,0	400,12	545,0	400,95
58,714	395,55	151,0	398,67	240,0	399,38	374,0	400,19	545,0	401,02
58,811	395,55	151,0	398,71	240,0	399,41	374,0	400,21	545,0	401,04
58,879	395,28	151,0	398,75	240,0	399,44	374,0	400,24	545,0	401,06
59,102	395,15	151,0	398,84	240,0	399,54	374,0	400,33	545,0	401,15

Analýza oblastí s významným povodňovým rizikem v povodí Vltavy a podklady k Plánu pro zvládání povodňových rizik v povodí Labe
B. TECHNICKÁ ZPRÁVA – HYDRODYNAMICKÉ MODELY A MAPY POVODŇOVÉHO NEBEZPEČÍ

Staničení [km]	Úroveň dna [m n. n.]	Q_5 [m³/s]	H_5 [m n. n.]	Q_{20} [m³/s]	H_{20} [m n. n.]	Q_{100} [m³/s]	H_{100} [m n. n.]	Q_{500} [m³/s]	H_{500} [m n. n.]
59,340	395,73	151,0	398,94	240,0	399,61	374,0	400,39	545,0	401,21
59,506	395,89	151,0	399,01	240,0	399,67	374,0	400,43	545,0	401,25
59,722	395,53	151,0	399,12	240,0	399,74	374,0	400,49	545,0	401,30
59,825	395,32	151,0	399,19	240,0	399,80	374,0	400,54	545,0	401,35
59,921	395,39	151,0	399,23	240,0	399,84	374,0	400,58	545,0	401,39
60,094	394,38	151,0	399,30	240,0	399,90	374,0	400,62	545,0	401,43
60,315	395,66	151,0	399,36	240,0	399,94	374,0	400,65	545,0	401,45
60,465	395,76	151,0	399,43	240,0	400,01	374,0	400,72	545,0	401,51
60,502	395,81	151,0	399,44	240,0	400,01	374,0	400,71	545,0	401,50
60,512		silniční most - Klenovice							
60,522	395,77	151,0	399,47	240,0	400,06	374,0	400,76	545,0	401,56
60,536	395,76	151,0	399,48	240,0	400,08	374,0	400,79	545,0	401,59
60,572	395,94	151,0	399,51	240,0	400,12	374,0	400,84	545,0	401,66
60,695	396,57	151,0	399,61	240,0	400,23	374,0	400,96	545,0	401,78
60,776	396,26	151,0	399,66	240,0	400,29	374,0	401,02	545,0	401,84
60,868	396,28	151,0	399,72	240,0	400,36	374,0	401,10	545,0	401,92
61,026	396,53	151,0	399,82	240,0	400,44	374,0	401,17	545,0	402,00
61,253	396,48	151,0	399,95	240,0	400,57	374,0	401,30	545,0	402,12
61,473	396,70	151,0	400,06	240,0	400,68	374,0	401,40	545,0	402,19
61,675	396,34	151,0	400,15	240,0	400,76	374,0	401,47	545,0	402,25
61,783	396,12	151,0	400,20	240,0	400,81	374,0	401,51	545,0	402,30
61,882	396,73	151,0	400,25	240,0	400,85	374,0	401,55	545,0	402,35
62,126	397,05	151,0	400,41	240,0	400,98	374,0	401,64	545,0	402,42
62,344	396,65	151,0	400,53	240,0	401,06	374,0	401,69	545,0	402,46

Analýza oblastí s významným povodňovým rizikem v povodí Vltavy a podklady k Plánu pro zvládání povodňových rizik v povodí Labe
B. TECHNICKÁ ZPRÁVA – HYDRODYNAMICKÉ MODELY A MAPY POVODŇOVÉHO NEBEZPEČÍ

Staničení [km]	Úroveň dna [m n. n.]	Q_5 [m³/s]	H_5 [m n. n.]	Q_{20} [m³/s]	H_{20} [m n. n.]	Q_{100} [m³/s]	H_{100} [m n. n.]	Q_{500} [m³/s]	H_{500} [m n. n.]
62,522	397,25	151,0	400,68	240,0	401,19	374,0	401,80	545,0	402,56
62,538	397,28	151,0	400,70	240,0	401,21	374,0	401,82	545,0	402,59
62,562	397,32	151,0	400,72	240,0	401,23	374,0	401,85	545,0	402,62
62,595	397,37	151,0	400,73	240,0	401,25	374,0	401,87	545,0	402,64
62,714	397,19	151,0	400,77	240,0	401,30	374,0	401,94	545,0	402,71
62,764	397,59	151,0	400,78	240,0	401,32	374,0	401,97	545,0	402,74
62,777	397,60	151,0	400,78	240,0	401,32	374,0	401,96	545,0	402,73
62,787		jez Špačkův Mlýn - Soběslav							
62,797	397,56	151,0	401,12	240,0	401,53	374,0	402,07	545,0	402,83
62,807	397,58	151,0	401,13	240,0	401,54	374,0	402,08	545,0	402,84
62,837	397,63	151,0	401,13	240,0	401,53	374,0	402,09	545,0	402,85
62,865	397,75	151,0	401,13	240,0	401,55	374,0	402,10	545,0	402,87
62,875	397,75	151,0	401,13	240,0	401,55	374,0	402,11	545,0	402,88
62,910	397,77	151,0	401,14	240,0	401,57	374,0	402,13	545,0	402,90
62,990	397,91	151,0	401,17	240,0	401,62	374,0	402,21	545,0	403,00
63,215	397,67	151,0	401,28	240,0	401,79	374,0	402,46	545,0	403,30
63,417	398,13	151,0	401,40	240,0	401,93	374,0	402,60	545,0	403,43
63,507	397,88	151,0	401,47	240,0	402,00	374,0	402,68	545,0	403,53
63,582	398,24	151,0	401,49	240,0	402,03	374,0	402,70	545,0	403,55
63,669	398,20	151,0	401,53	240,0	402,06	374,0	402,73	545,0	403,58
63,752	398,03	151,0	401,56	240,0	402,10	374,0	402,77	545,0	403,61
63,835	397,89	151,0	401,60	240,0	402,13	374,0	402,80	545,0	403,64
63,916	398,10	151,0	401,64	240,0	402,17	374,0	402,84	545,0	403,68
63,996	398,18	151,0	401,66	240,0	402,20	374,0	402,86	545,0	403,71

Analýza oblastí s významným povodňovým rizikem v povodí Vltavy a podklady k Plánu pro zvládání povodňových rizik v povodí Labe
B. TECHNICKÁ ZPRÁVA – HYDRODYNAMICKÉ MODELY A MAPY POVODŇOVÉHO NEBEZPEČÍ

Staničení [km]	Úroveň dna [m n. n.]	Q ₅ [m ³ /s]	H ₅ [m n. n.]	Q ₂₀ [m ³ /s]	H ₂₀ [m n. n.]	Q ₁₀₀ [m ³ /s]	H ₁₀₀ [m n. n.]	Q ₅₀₀ [m ³ /s]	H ₅₀₀ [m n. n.]
64,065	397,92	151,0	401,68	240,0	402,21	374,0	402,88	545,0	403,72
64,136	398,27	151,0	401,72	240,0	402,25	374,0	402,91	545,0	403,75
64,216	398,54	151,0	401,76	240,0	402,29	374,0	402,94	545,0	403,77
64,295		silniční most - Soběslav (silnice II./135)							
64,305	398,67	151,0	401,80	240,0	402,34	374,0	403,01	545,0	403,83
64,332	398,73	151,0	401,81	240,0	402,36	374,0	403,02	545,0	403,84
64,443	398,94	151,0	401,87	240,0	402,43	374,0	403,12	545,0	403,92
64,502	398,95	151,0	401,89	240,0	402,46	374,0	403,15	545,0	403,95
64,512	398,95	151,0	401,90	240,0	402,46	374,0	403,15	545,0	403,95
64,522		jez Steiniger - Soběslav							
64,532	399,53	151,0	401,92	240,0	402,48	374,0	403,18	545,0	404,01
64,542	399,52	151,0	401,92	240,0	402,48	374,0	403,18	545,0	404,01
64,599	399,44	151,0	401,93	240,0	402,49	374,0	403,19	545,0	404,01
64,673	399,39	151,0	401,95	240,0	402,52	374,0	403,23	545,0	404,06
64,734	399,23	151,0	401,98	240,0	402,54	374,0	403,26	545,0	404,08
64,804	399,08	151,0	402,02	240,0	402,57	374,0	403,29	545,0	404,11
64,895	399,33	151,0	402,09	240,0	402,64	374,0	403,34	545,0	404,16
64,986	399,36	138,0	402,17	222,0	402,71	353,0	403,40	523,0	404,20
65,048	399,23	138,0	402,20	222,0	402,73	353,0	403,41	523,0	404,20
65,122	399,31	138,0	402,23	222,0	402,75	353,0	403,43	523,0	404,22
65,196	399,02	138,0	402,25	222,0	402,77	353,0	403,44	523,0	404,23
65,256	398,81	138,0	402,28	222,0	402,79	353,0	403,47	523,0	404,25
65,269		lávka pro pěší - Soběslav							
65,274	398,71	138,0	402,29	222,0	402,80	353,0	403,47	523,0	404,25

Analýza oblastí s významným povodňovým rizikem v povodí Vltavy a podklady k Plánu pro zvládání povodňových rizik v povodí Labe
B. TECHNICKÁ ZPRÁVA – HYDRODYNAMICKÉ MODELY A MAPY POVODŇOVÉHO NEBEZPEČÍ

Staničení [km]	Úroveň dna [m n. n.]	Q_5 [m³/s]	H_5 [m n. n.]	Q_{20} [m³/s]	H_{20} [m n. n.]	Q_{100} [m³/s]	H_{100} [m n. n.]	Q_{500} [m³/s]	H_{500} [m n. n.]
65,277	398,54	138,0	402,29	222,0	402,80	353,0	403,47	523,0	404,25
65,341	398,49	138,0	402,33	222,0	402,82	353,0	403,48	523,0	404,26
65,409	399,11	138,0	402,38	222,0	402,86	353,0	403,52	523,0	404,29
65,485	399,22	138,0	402,41	222,0	402,88	353,0	403,53	523,0	404,30
65,559	398,88	138,0	402,45	222,0	402,91	353,0	403,56	523,0	404,32
65,632	399,15	138,0	402,47	222,0	402,93	353,0	403,57	523,0	404,33
65,706	398,79	138,0	402,50	222,0	402,95	353,0	403,58	523,0	404,34
65,782	398,64	138,0	402,53	222,0	402,99	353,0	403,61	523,0	404,36
65,856	399,41	138,0	402,56	222,0	403,02	353,0	403,64	523,0	404,38
65,917	399,20	138,0	402,58	222,0	403,04	353,0	403,65	523,0	404,38
66,009	399,18	138,0	402,61	222,0	403,09	353,0	403,71	523,0	404,45
66,196	399,54	138,0	402,68	222,0	403,19	353,0	403,85	523,0	404,61
66,413	399,51	138,0	402,77	222,0	403,30	353,0	403,97	523,0	404,73
66,613	399,66	138,0	402,84	222,0	403,37	353,0	404,03	523,0	404,79
66,794	399,80	138,0	402,92	222,0	403,45	353,0	404,10	523,0	404,87
66,886	399,63	138,0	402,96	222,0	403,49	353,0	404,15	523,0	404,91
66,989	399,50	138,0	402,98	222,0	403,51	353,0	404,17	523,0	404,92
67,224	399,22	138,0	403,04	222,0	403,55	353,0	404,19	523,0	404,95
67,383	400,06	138,0	403,13	222,0	403,61	353,0	404,24	523,0	404,97
67,608	399,58	138,0	403,27	222,0	403,73	353,0	404,35	523,0	405,06
67,793	400,46	126,0	403,37	205,0	403,78	333,0	404,39	507,0	405,10
67,885	400,46	126,0	403,41	205,0	403,82	333,0	404,42	507,0	405,12
67,895	400,46	126,0	403,42	205,0	403,82	333,0	404,42	507,0	405,13
67,905		jez Čejnov							

Analýza oblastí s významným povodňovým rizikem v povodí Vltavy a podklady k Plánu pro zvládání povodňových rizik v povodí Labe
B. TECHNICKÁ ZPRÁVA – HYDRODYNAMICKÉ MODELY A MAPY POVODŇOVÉHO NEBEZPEČÍ

Staničení [km]	Úroveň dna [m n. n.]	Q_5 [m³/s]	H_5 [m n. n.]	Q_{20} [m³/s]	H_{20} [m n. n.]	Q_{100} [m³/s]	H_{100} [m n. n.]	Q_{500} [m³/s]	H_{500} [m n. n.]
67,915	400,50	126,0	403,66	205,0	403,96	333,0	404,49	507,0	405,16
67,925	400,50	126,0	403,66	205,0	403,96	333,0	404,49	507,0	405,16
68,031	400,47	126,0	403,68	205,0	403,98	333,0	404,50	507,0	405,17
68,245	399,69	126,0	403,81	205,0	404,11	333,0	404,61	507,0	405,25
68,441	399,91	126,0	403,88	205,0	404,19	333,0	404,67	507,0	405,30
68,636	400,59	126,0	403,91	205,0	404,23	333,0	404,70	507,0	405,33
68,839	401,19	126,0	403,96	205,0	404,27	333,0	404,75	507,0	405,37
68,935	401,37	126,0	404,00	205,0	404,31	333,0	404,77	507,0	405,40
69,032	400,58	126,0	404,03	205,0	404,33	333,0	404,79	507,0	405,41
69,122	400,75	126,0	404,07	205,0	404,36	333,0	404,81	507,0	405,43
69,156	400,82	126,0	404,07	205,0	404,36	333,0	404,81	507,0	405,43
69,192	400,89	126,0	404,08	205,0	404,37	333,0	404,82	507,0	405,43
69,419	400,51	126,0	404,25	205,0	404,56	333,0	404,95	507,0	405,51
69,547	400,18	126,0	404,35	205,0	404,69	333,0	405,11	507,0	405,67
69,567	400,13	126,0	404,37	205,0	404,70	333,0	405,13	507,0	405,70
69,611	400,01	126,0	404,39	205,0	404,74	333,0	405,18	507,0	405,76
69,657	400,39	126,0	404,42	205,0	404,78	333,0	405,23	507,0	405,82
69,818	401,66	126,0	404,52	205,0	404,88	333,0	405,35	507,0	405,93
69,905	401,29	126,0	404,56	205,0	404,93	333,0	405,41	507,0	406,00
69,949	401,56	126,0	404,57	205,0	404,94	333,0	405,42	507,0	406,01
69,959		silniční most - Dráhov							
69,969	401,56	126,0	404,60	205,0	404,97	333,0	405,49	507,0	406,09
69,979	401,70	126,0	404,60	205,0	404,97	333,0	405,49	507,0	406,09
69,991	401,88	126,0	404,60	205,0	404,97	333,0	405,50	507,0	406,10

Staničení [km]	Úroveň dna [m n. n.]	Q ₅ [m ³ /s]	H ₅ [m n. n.]	Q ₂₀ [m ³ /s]	H ₂₀ [m n. n.]	Q ₁₀₀ [m ³ /s]	H ₁₀₀ [m n. n.]	Q ₅₀₀ [m ³ /s]	H ₅₀₀ [m n. n.]
70,042	402,10	126,0	404,61	205,0	404,98	333,0	405,52	507,0	406,13
70,052		jez - Dráhov							
70,062	402,75	126,0	405,05	205,0	405,30	333,0	405,83	507,0	406,35
70,072	402,66	126,0	405,05	205,0	405,31	333,0	405,83	507,0	406,35
70,181	401,62	126,0	405,09	205,0	405,34	333,0	405,88	507,0	406,41
70,357	400,74	126,0	405,19	205,0	405,43	333,0	405,96	507,0	406,49
70,534	401,62	126,0	405,30	205,0	405,57	333,0	406,10	507,0	406,61
70,723	401,33	126,0	405,40	205,0	405,70	333,0	406,22	507,0	406,71
70,900	401,36	126,0	405,50	205,0	405,82	333,0	406,35	507,0	406,81
71,007	401,53	126,0	405,55	205,0	405,88	333,0	406,40	507,0	406,85
71,103	401,47	126,0	405,61	205,0	405,92	333,0	406,44	507,0	406,88
71,308	401,92	126,0	405,74	205,0	406,03	333,0	406,54	507,0	406,98
71,502	401,81	126,0	405,81	205,0	406,09	333,0	406,59	507,0	407,02
71,697	401,93	126,0	405,88	205,0	406,13	333,0	406,62	507,0	407,06
71,883	401,96	126,0	405,94	205,0	406,18	333,0	406,65	507,0	407,09
71,984	402,38	126,0	405,97	205,0	406,21	333,0	406,67	507,0	407,11
72,069	403,34	126,0	406,02	205,0	406,25	333,0	406,70	507,0	407,15
72,271	402,62	126,0	406,15	205,0	406,34	333,0	406,77	507,0	407,21
72,460	402,40	126,0	406,25	205,0	406,44	333,0	406,85	507,0	407,29
72,672	402,68	126,0	406,34	205,0	406,51	333,0	406,90	507,0	407,33
72,891	402,20	126,0	406,48	205,0	406,66	333,0	407,05	507,0	407,45
72,900		silniční most – dálnice D3							
72,977	402,63	126,0	406,52	205,0	406,71	333,0	407,10	507,0	407,51
73,065	402,77	126,0	406,59	205,0	406,77	333,0	407,16	507,0	407,57

Analýza oblastí s významným povodňovým rizikem v povodí Vltavy a podklady k Plánu pro zvládání povodňových rizik v povodí Labe
B. TECHNICKÁ ZPRÁVA – HYDRODYNAMICKÉ MODELY A MAPY POVODŇOVÉHO NEBEZPEČÍ

Staničení [km]	Úroveň dna [m n. n.]	Q_5 [m³/s]	H_5 [m n. n.]	Q_{20} [m³/s]	H_{20} [m n. n.]	Q_{100} [m³/s]	H_{100} [m n. n.]	Q_{500} [m³/s]	H_{500} [m n. n.]
73,278	402,29	126,0	406,70	205,0	406,89	333,0	407,27	507,0	407,69
73,452	403,73	126,0	406,79	205,0	406,98	333,0	407,36	507,0	407,79
73,659	403,31	126,0	406,88	205,0	407,08	333,0	407,45	507,0	407,88
73,850	401,91	126,0	406,96	205,0	407,15	333,0	407,52	507,0	407,96
73,964	403,31	126,0	407,03	205,0	407,21	333,0	407,57	507,0	408,01
74,061	403,46	126,0	407,09	205,0	407,27	333,0	407,61	507,0	408,04
74,259	403,67	126,0	407,18	205,0	407,37	333,0	407,69	507,0	408,10
74,455	402,79	126,0	407,25	205,0	407,47	333,0	407,84	507,0	408,23
74,485	402,87	126,0	407,26	205,0	407,50	333,0	407,87	507,0	408,28
74,500	403,24	126,0	407,27	205,0	407,51	333,0	407,90	507,0	408,30
74,510		silniční most - Veselí nad Lužnicí (silnice I./3)							
74,527	403,03	126,0	407,31	205,0	407,57	333,0	408,00	507,0	408,40
74,537	403,12	126,0	407,31	205,0	407,57	333,0	408,00	507,0	408,41
74,599	403,71	126,0	407,33	205,0	407,60	333,0	408,05	507,0	408,47
74,683	403,13	111,0	407,36	183,0	407,64	315,0	408,12	492,0	408,58
74,758	402,99	111,0	407,38	183,0	407,68	315,0	408,18	492,0	408,64
74,834	403,05	111,0	407,41	183,0	407,71	315,0	408,21	492,0	408,67
74,910	403,32	111,0	407,43	183,0	407,75	315,0	408,27	492,0	408,73
74,978	403,46	111,0	407,45	183,0	407,78	315,0	408,31	492,0	408,76
75,057	403,77	111,0	407,48	183,0	407,81	315,0	408,35	492,0	408,79
75,126	403,34	111,0	407,51	183,0	407,85	315,0	408,38	492,0	408,83
75,191	402,93	111,0	407,53	183,0	407,88	315,0	408,43	492,0	408,90
75,261	403,27	111,0	407,55	183,0	407,92	315,0	408,49	492,0	408,97
75,291	403,61	111,0	407,56	183,0	407,92	315,0	408,48	492,0	408,96

Analýza oblastí s významným povodňovým rizikem v povodí Vltavy a podklady k Plánu pro zvládání povodňových rizik v povodí Labe
B. TECHNICKÁ ZPRÁVA – HYDRODYNAMICKÉ MODELY A MAPY POVODŇOVÉHO NEBEZPEČÍ

Staničení [km]	Úroveň dna [m n. n.]	Q_5 [m³/s]	H_5 [m n. n.]	Q_{20} [m³/s]	H_{20} [m n. n.]	Q_{100} [m³/s]	H_{100} [m n. n.]	Q_{500} [m³/s]	H_{500} [m n. n.]
75,307	403,79	111,0	407,56	183,0	407,92	315,0	408,49	492,0	408,98
75,336	404,12	34,0	407,56	68,0	407,92	145,0	408,48	279,0	408,96
75,348	404,26	34,0	407,56	68,0	407,92	145,0	408,48	279,0	408,98
75,413	404,56	34,0	407,58	68,0	407,94	145,0	408,52	279,0	409,01
75,489	404,57	34,0	407,60	68,0	407,96	145,0	408,55	279,0	409,06
75,558	404,26	34,0	407,61	68,0	407,97	145,0	408,57	279,0	409,08
75,643	403,63	34,0	407,61	68,0	407,97	145,0	408,57	279,0	409,08
75,654	403,68	34,0	407,61	68,0	407,97	145,0	408,58	279,0	409,08
75,664		pohyblivý jez - Veselí nad Lužnicí							
75,674	406,05	34,0	408,58	68,0	408,81	145,0	409,28	279,0	409,60
75,684	406,05	34,0	408,61	68,0	408,84	145,0	409,33	279,0	409,67
75,713	406,05	34,0	408,63	68,0	408,86	145,0	409,34	279,0	409,68
75,757	405,52	34,0	408,65	68,0	408,88	145,0	409,37	279,0	409,72
75,767	405,40	34,0	408,65	68,0	408,88	145,0	409,37	279,0	409,73
75,782		silniční most na třídě Čs. armády - Veselí nad Lužnicí (silnice II./603)							
75,790	405,40	34,0	408,67	68,0	408,92	145,0	409,44	279,0	409,85
75,800	405,42	34,0	408,67	68,0	408,91	145,0	409,44	279,0	409,85
75,867	405,31	34,0	408,69	68,0	408,93	145,0	409,47	279,0	409,90
75,881	405,03	34,0	408,70	68,0	408,95	145,0	409,49	279,0	409,92
75,891		lávka pro pěší - Veselí nad Lužnicí							
75,898	405,07	34,0	408,72	68,0	408,97	145,0	409,56	279,0	410,06
75,908	405,12	34,0	408,72	68,0	408,97	145,0	409,56	279,0	410,06
75,973	405,53	34,0	408,73	68,0	408,98	145,0	409,57	279,0	410,09
76,031	405,99	34,0	408,74	68,0	409,00	145,0	409,59	279,0	410,12

Analýza oblastí s významným povodňovým rizikem v povodí Vltavy a podklady k Plánu pro zvládání povodňových rizik v povodí Labe
B. TECHNICKÁ ZPRÁVA – HYDRODYNAMICKÉ MODELY A MAPY POVODŇOVÉHO NEBEZPEČÍ

Staničení [km]	Úroveň dna [m n. n.]	Q_5 [m³/s]	H_5 [m n. n.]	Q_{20} [m³/s]	H_{20} [m n. n.]	Q_{100} [m³/s]	H_{100} [m n. n.]	Q_{500} [m³/s]	H_{500} [m n. n.]
76,109	405,92	34,0	408,76	68,0	409,01	145,0	409,62	279,0	410,15
76,179	405,86	34,0	408,77	68,0	409,03	145,0	409,64	279,0	410,17
76,246	405,92	34,0	408,79	68,0	409,04	145,0	409,66	279,0	410,19
76,322	405,58	34,0	408,80	68,0	409,06	145,0	409,69	279,0	410,22
76,447	405,57	34,0	408,82	68,0	409,08	145,0	409,72	279,0	410,25
76,457	405,55	34,0	408,82	68,0	409,08	145,0	409,72	279,0	410,25
76,466		lávka pro pěší - Veselí nad Lužnicí							
76,471	405,51	34,0	408,83	68,0	409,10	145,0	409,76	279,0	410,29
76,481	405,59	34,0	408,83	68,0	409,10	145,0	409,76	279,0	410,29
76,527	405,95	34,0	408,84	68,0	409,10	145,0	409,76	279,0	410,29
76,667	405,77	34,0	408,88	68,0	409,14	145,0	409,79	279,0	410,32
76,727	406,34	34,0	408,89	68,0	409,16	145,0	409,82	279,0	410,35
76,795	406,27	34,0	408,91	68,0	409,18	145,0	409,88	279,0	410,39
76,805	406,26	34,0	408,91	68,0	409,19	145,0	409,88	279,0	410,40
76,815		železniční most - Veselí nad Lužnicí							
76,825	406,28	34,0	408,93	68,0	409,21	145,0	409,94	279,0	410,42
76,835	406,33	34,0	408,93	68,0	409,21	145,0	409,94	279,0	410,42
76,844	406,33	34,0	408,93	68,0	409,21	145,0	409,94	279,0	410,42
76,852	405,92	34,0	408,94	68,0	409,22	145,0	409,95	279,0	410,43
76,855	405,88	34,0	408,94	68,0	409,22	145,0	409,96	279,0	410,44
76,871	405,98	34,0	408,95	68,0	409,24	145,0	410,03	279,0	410,53
76,881	406,07	34,0	408,95	68,0	409,24	145,0	410,03	279,0	410,53
76,866		most pro pěší - Veselí nad Lužnicí							
76,926	406,47	34,0	408,96	68,0	409,25	145,0	410,07	279,0	410,57

Analýza oblastí s významným povodňovým rizikem v povodí Vltavy a podklady k Plánu pro zvládání povodňových rizik v povodí Labe
B. TECHNICKÁ ZPRÁVA – HYDRODYNAMICKÉ MODELY A MAPY POVODŇOVÉHO NEBEZPEČÍ

Staničení [km]	Úroveň dna [m n. n.]	Q_5 [m³/s]	H_5 [m n. n.]	Q_{20} [m³/s]	H_{20} [m n. n.]	Q_{100} [m³/s]	H_{100} [m n. n.]	Q_{500} [m³/s]	H_{500} [m n. n.]
76,984	406,27	34,0	408,98	68,0	409,27	145,0	410,12	279,0	410,61
77,059	406,53	34,0	409,00	68,0	409,30	145,0	410,15	279,0	410,64
77,128	406,78	34,0	409,03	68,0	409,33	145,0	410,16	279,0	410,65
77,198	406,40	34,0	409,06	68,0	409,36	145,0	410,17	279,0	410,67
77,269	406,68	34,0	409,10	68,0	409,40	145,0	410,19	279,0	410,68
77,347	406,53	34,0	409,13	68,0	409,45	145,0	410,21	279,0	410,69
77,415	406,41	34,0	409,16	68,0	409,48	145,0	410,22	279,0	410,70
77,425	406,39	34,0	409,16	68,0	409,48	145,0	410,22	279,0	410,70
77,435	406,44	34,0	409,17	68,0	409,48	145,0	410,22	279,0	410,70
77,445	406,39	34,0	409,17	68,0	409,48	145,0	410,22	279,0	410,70
77,577	406,80	34,0	409,22	68,0	409,52	145,0	410,23	279,0	410,71

6.2 Mapy povodňového nebezpečí

Analýzou průniku maximálního rozlivu (při průtoku Q_{500}) a správních území byly zjištěny informace o následujících dotčených správních území obcí uvedené v následující tabulce.

Tabulka 10 – Dotčené správní území obcí maximálním rozlivem

KODORP	NAZORP	ICOB	NAZOB
17023	Třeboň	508501	Lužnice
17023	Třeboň	546674	Lomnice nad Lužnicí
17023	Třeboň	546844	Novosedly nad Nežárkou
17023	Třeboň	547336	Třeboň
16470	Tábor	552046	Tábor
15170	Soběslav	552275	Dráhov
16470	Tábor	552585	Košice
16470	Tábor	552828	Planá nad Lužnicí
16470	Tábor	552933	Radimovice u Želče
15170	Soběslav	553018	Roudná
16470	Tábor	553069	Sezimovo Ústí
15170	Soběslav	553077	Skalice
15170	Soběslav	553131	Soběslav
15170	Soběslav	553255	Val
15170	Soběslav	553263	Vesce
15170	Soběslav	553271	Veselí nad Lužnicí
15170	Soběslav	553310	Vlkov
17023	Třeboň	562637	Frahelž
17023	Třeboň	562653	Ponědrážka
17023	Třeboň	562670	Ponědraž
17023	Třeboň	562688	Klec
15170	Soběslav	563897	Žíšov
15170	Soběslav	563986	Klenovice
15170	Soběslav	599115	Řípec
16470	Tábor	599123	Ústrašice

Záplavové čáry tvoří obalovou křivku záplavovému území resp. mapám hloubek. Zobrazují maximální rozsah povodně pro daný průtok. Jsou zobrazeny v jedné mapě pro všechny povodňové scénáře. Tím je umožněno snadné porovnání rozsahu povodní. Záplavové čáry jsou zobrazeny na podkladě Základní rastrové mapy ČR v měřítku 1:10 000.

Pomocí softwaru ESRI ArcMap a ATLAS DMT byly z vypočtených hydraulických charakteristik pro Q_5 , Q_{20} a Q_{100} a Q_{500} vygenerovány záplavové čáry a mapy hladin v zájmové oblasti.

Formát záplavových čar *.shp – polygon, vektorový formát ESRI

Formát map hladin *.tif – rastr, georeferencovaný tif velikost pixelu rastru 2x2 m

Mapa hloubek vznikne odečtením vypočítané úrovně hladiny a sestaveného digitálního modelu terénu. V barevné škále zobrazuje názorně hloubku vody při povodni v záplavovém území a upozorňuje na rizikové oblasti s vysokými hloubkami vody. Pro přehledné znázornění hloubek v tištěné podobě je výsledná hloubka vody

rozdělena do kategorií s pevně zvoleným rozsahem hloubky (znázorněno v legendě mapového výstupu). Mapa hloubek je zobrazena na podkladě Základní rastrové mapy ČR v měřítku 1:10 000.

Pomocí softwaru ESRI ArcMap a ATLAS DMT byly z vypočtených hydraulických charakteristik pro Q_5 , Q_{20} a Q_{100} a Q_{500} vygenerovány mapy hloubek.

Formát map hloubek *.tif – rastr, georeferencovaný tif velikost pixelu rastru 2x2 m

Informace o rychlosti proudění vody v korytě a v inundačním území u dvouzměrného modelu jsou známy ve všech výpočetních bodech. Výsledné zobrazení rychlostí je součástí mapy hloubek, kdy informace o rychlosti spolu s hloubkou vody dívají názornou představu o charakteru nebezpečí při povodni v pozorovaném úseku.

Pomocí softwaru ESRI ArcMap a ATLAS DMT byly z vypočtených hydraulických charakteristik pro Q_5 , Q_{20} a Q_{100} a Q_{500} vygenerovány mapy rychlostí.

Úsek km

Formát map rychlostí *.tif – rastr, georeferencovaný tif velikost pixelu rastru 2x2 m

Výsledné zobrazení rychlostí je součástí mapy rizik, kdy informace o rychlosti spolu s hloubkou vody dívají názornou představu o charakteru nebezpečí při povodni v pozorovaném úseku.

6.3 Zhodnocení nejistot ve výsledcích výpočtu

Nejistoty mohou vstupovat do výpočtů a dále do výsledků v každé dílčí fázi zpracování. Jedná se zejména o nejistoty hydrologických dat, geodetických dat, zpracování digitálního modelu terénu, schematizace řešeného území hydrodynamickým modelem, přesnost hydrodynamického modelu, kalibrační značky, kulminační průtoky historických povodní atd.

Dalším faktorem, s nímž model nepočítá, je množství plavenin, které postupují tokem při povodni, ať už se jedná například o ledové kry nebo antropogenní materiál či dřevní hmotu. Tyto plaveniny, pak zejména v prostoru objektů, mohou značně pozměnit průtočný profil (částečné nebo úplné ucpání), což má zásadní vliv na jeho průtočnou kapacitu a následně na průběh hladin nad objektem.

Způsob zpracování vycházel z použití nejmodernějších a nejaktuльнějších vstupních podkladů, hydrodynamických modelů, metod zpracování hydrodynamických modelů a prezentace jejich výsledků s cílem minimalizovat nejistoty ve výsledcích výpočtu. Přesto je třeba upozornit na dvě nejzávažnější nejistoty v případě povodňového modelu Lužnice mezi ř.km 94,2 až 39,0, resp. předpoklady, které modeláři provedli:

1. nepřesnosti DMR 5G v několika lokalitách s nepřehledným terénem porostlým hustými křovisky a travinami, kde bylo zjištěno převýšení nad skutečným terénem (zaměřeným geodeticky v příčném profilu) o 1 – 2 metry. Obdobnou výškovou chybou byla postižena rozsáhlá soustava hrází rybniční sítě – již uvedeno v kap. 3.6.

Tyto nepřesnosti byly modeláři opravovány. Přesto není možné mít jistotu, že při Q_{500} (při kterém je značná část rybniční soustavy zaplavena) budou přetékány linie hrází rybníků přesně v místech, kde bylo vypočteno modelem. Příkladem může být rybník Naděje, jehož severní hráz byla v modelu zvýšena (upravena na niveletu hrází v okolí).

2. Protipovodňová ochrana pily v Dráchově (cca ř.km 69,8) není za běžného provozu kompletně uzavřena – cesta ze SZ strany. Při simulacích byl učiněn předpoklad, že tato cesta bude při Q_{100} nějakým způsobem (pytle s pískem) uzavřena ... a ve výsledcích není území pily při Q_{100} zaplaveno. Pokud by cesta uzavřena nebyla, dojde k zaplavení chráněného území.